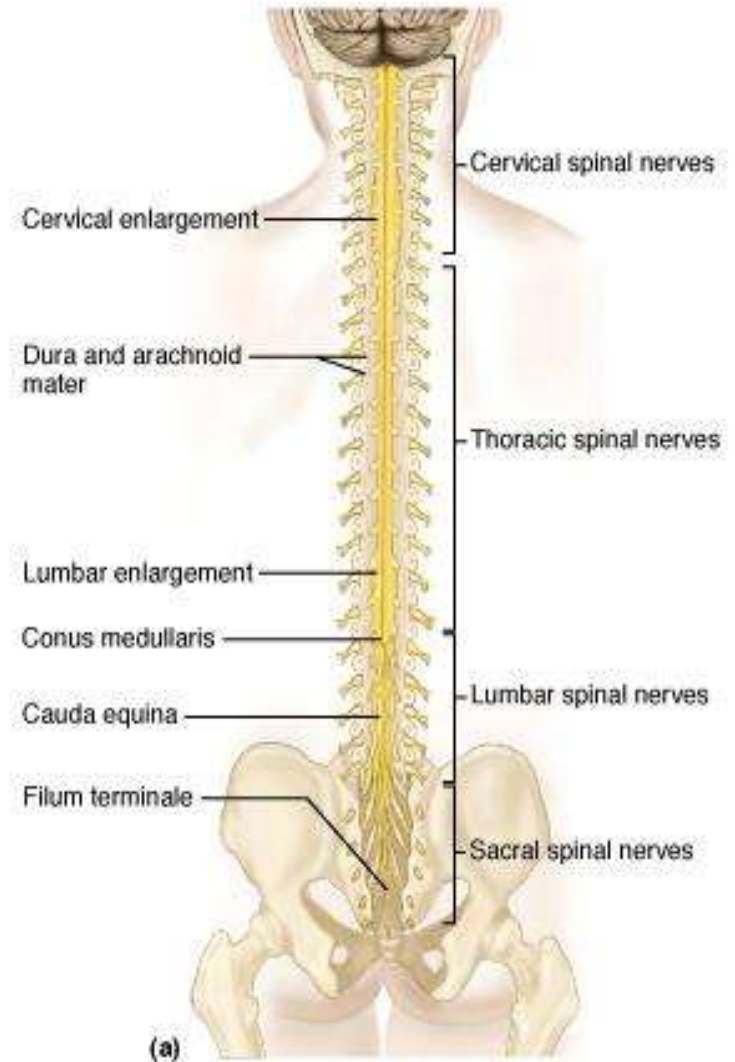


# TUMORI SPINALI

**Gruppo neurooncologico**  
**21 novembre 2014**



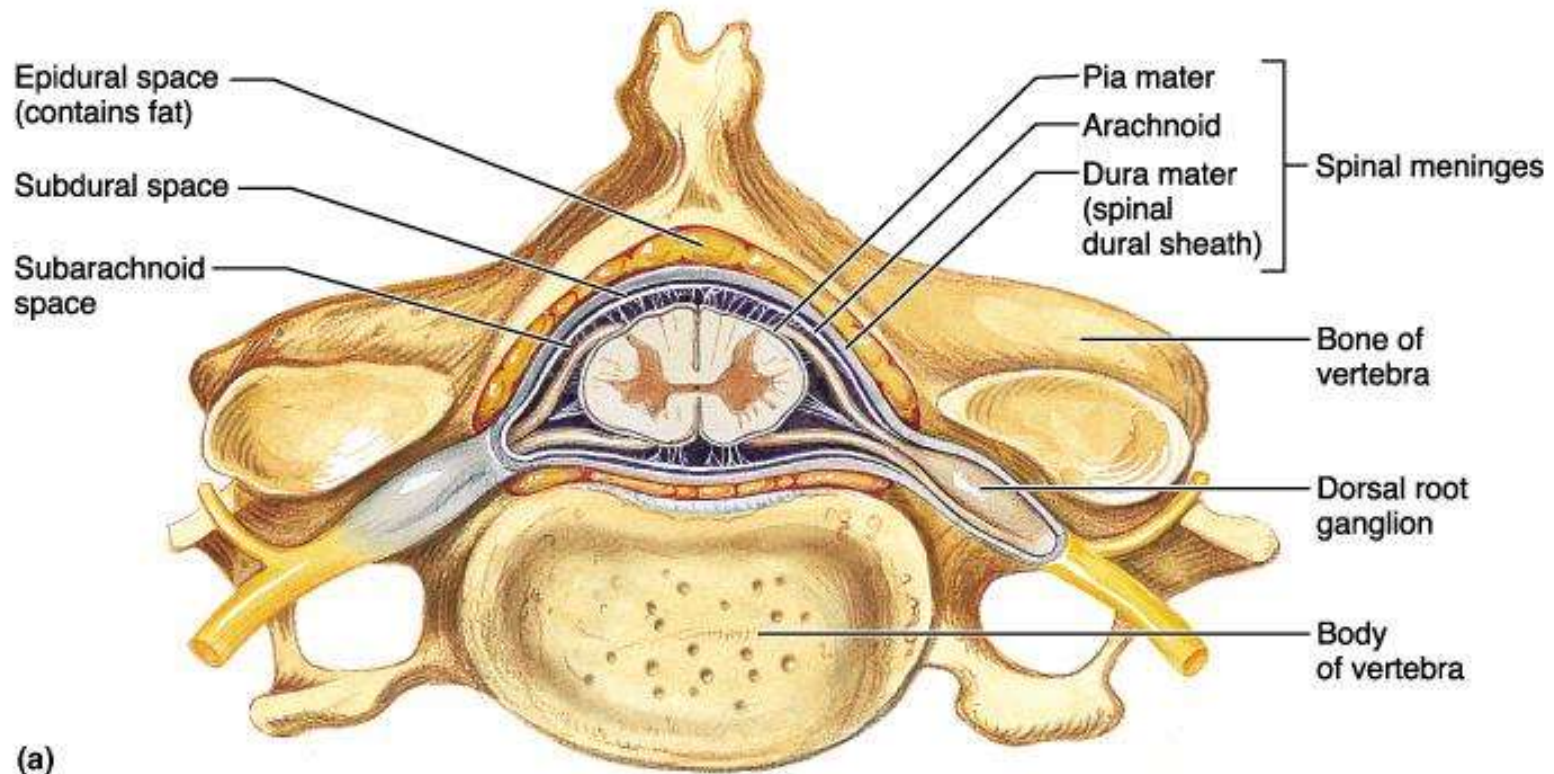
# Spine and Spinal cord Tumors

*Tumori che originano nel  
midollo, nelle radici, nelle  
meningi o nelle vertebre,  
che causano  
compressione sul midollo  
e sulle radici nervose*

# Spine tumors

## TUMORI DELLA COLONNA benigni

- OSTECONDROMA 4%
- OSTEOMA OSTEOIDE 9%
- OSTEOLASTOMA 10%
- EMANGIOMA 5%
- CISTI ANEURISMATICA 10%
- GRANULOMA EOSINOFILO 4%
- TUMORE A CELLULE GIGANTI 1-2%



# Anatomy of the Spinal Cord

# Spine tumors

## TUMORI DELLA COLONNA maligni

- MIELOMA/PLASMOCITOMA
- CORDOMA
- CONDROSARCOMA
- OSTEOSARCOMA (S. EWING)
- METASTASI (MAMMELLA-POLMONE-  
PROSTATA-RENE)

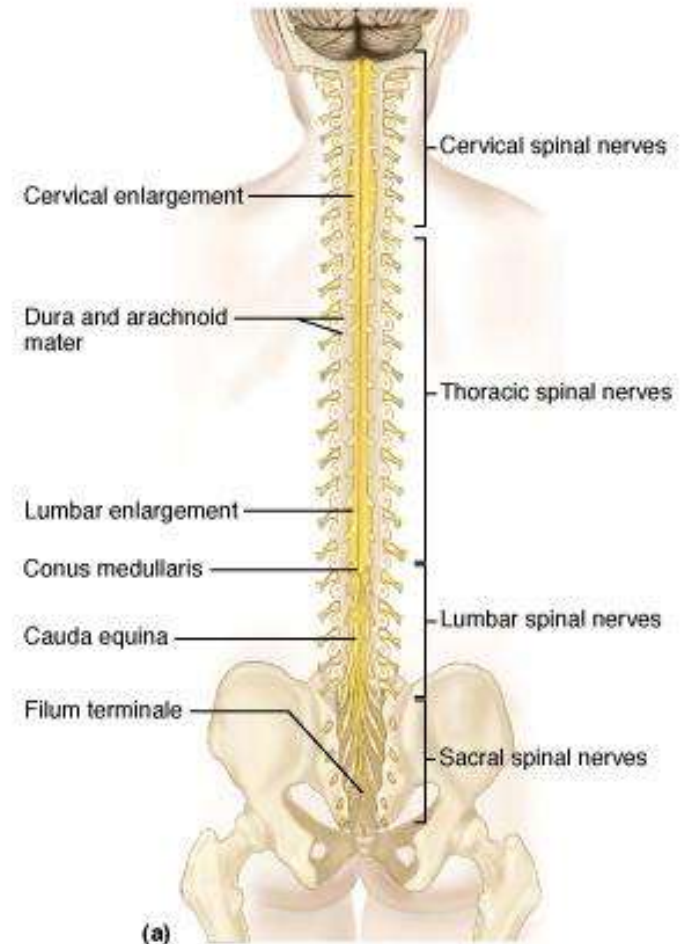
OGNI dolore rachideo della durata di  
oltre 6 settimane in bambini o in  
giovani adulti va indagata con TAC  
con mdc

# TUMORI MIDOLLARI

I tumori midollari primitivi sono meno frequenti rispetto ai tumori cerebrali.

Circa 2/3 dei tumori primitivi midollari sono meningiomi e neurinomi.

Circa il 10% dei tumori spinali è intramidollare.





# Anatomy of the Spinal Cord

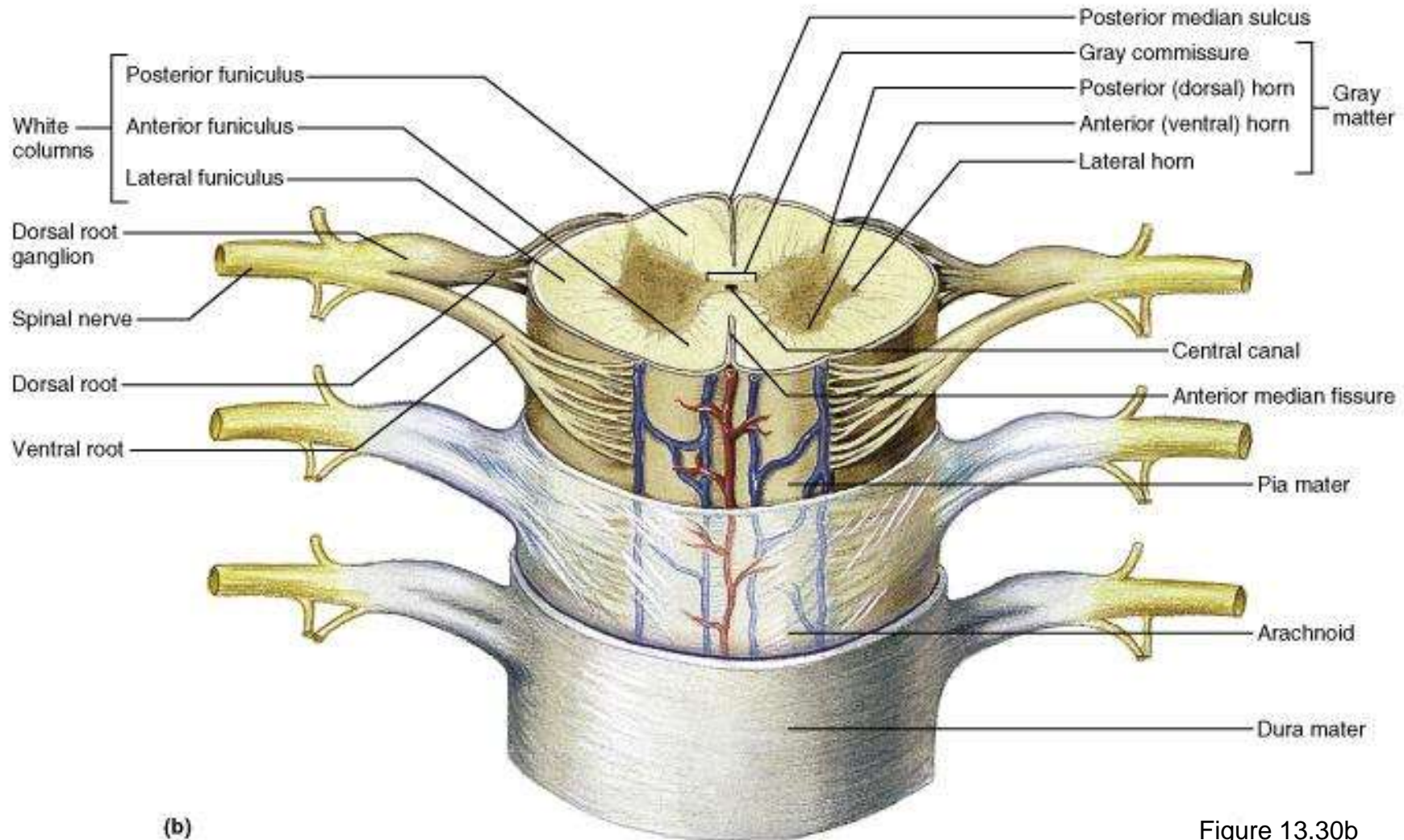


Figure 13.30b



# INTRADURALI

## INTRAMIDOLLARI :

EPENDIMOMI

ASTROCITOMI

CAVERNOMI

EMANGIOBLASTOMI

## IUXTAMIDOLLARI:

SCHWANNOMI

NEUROFIBROMI

MENINGIOMI

## SPINAL CORD TUMORS IN ADULTS

### **Extramedullary (2/3 of cases)**

Nerve sheath tumor	(40%)
Meningioma	(40%)
Filum terminal ependymoma	(15%)
Miscellaneous * (rare)	(5%)

### **Intramedullary (1/3 of cases)**

Ependymoma	(45%)
Astrocytoma †	(40%)
Hemangioblastoma	(5%)
Miscellaneous †	(10%)

\*Includes paraganglioma, drop metastasis, and ganglioma.

† includes oligodendroglioma, ganglioma, neurocytoma, and subependymoma.

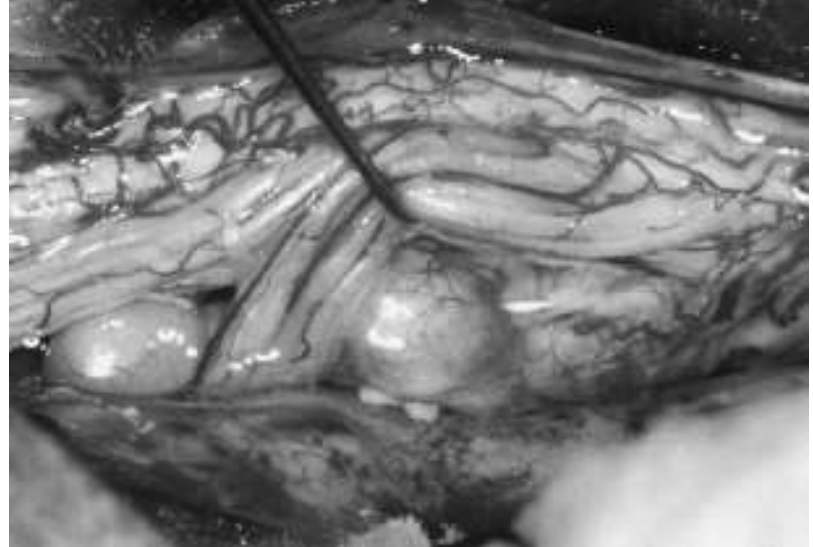
† includes metastatic tumor. Inclusion tumor (e.g., lipoma), inflammatory pathology (e.g., abscess, tuberculoma, sarcoid), and vascular pathology (e.g., cavernous malformation, aneurysm).

# sintomi

**I tumori intradurali extramidollari** (p. es., gli schwannomi, i meningiomi) causano dolore segmentale, con evoluzione verso il deficit segmentale di forza e infine paraparesi.

**Neoplasie intramidollari:** si tratta di gliomi ed ependimomi che frequentemente si estendono lungo parecchi segmenti spinali, simulando la siringomielia. Insorgono paraparesi progressiva, perdita delle sensibilità e deficit sfinteriale. Un tumore localizzato a un segmento midollare può simulare una neoplasia extramidollare, ma il dolore è meno evidente e i deficit sfinteriali sono più precoci.

- **Tumori della guaina dei nervi**  
**40% of E.M.S.C.T**
  - **Schwannomi**
    - » Dalle cellule di Schwann
  - **Neurofibromi**
    - » Da cellule di Schwann, cellule del perinevrio e da fibroblasti.
- **Neurofibromi e schwannomi hanno caratteristiche demografiche, istologiche e biologiche differenti.**



- Neurofibromi

- Aspetto istologico

- Abbondanza di tessuto fibroso
    - Evidenza di fibre nervose nello stroma tumorale.
    - Ingrossamento fusiforme (plessiforme) del nervo interessato.

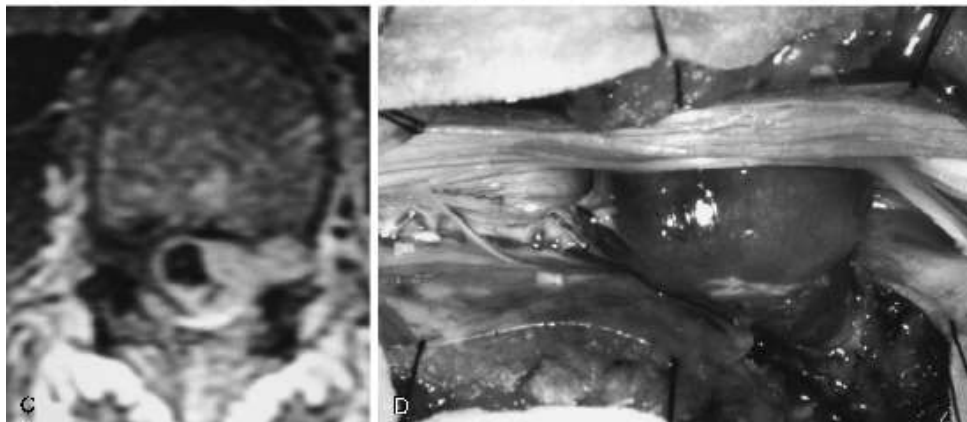
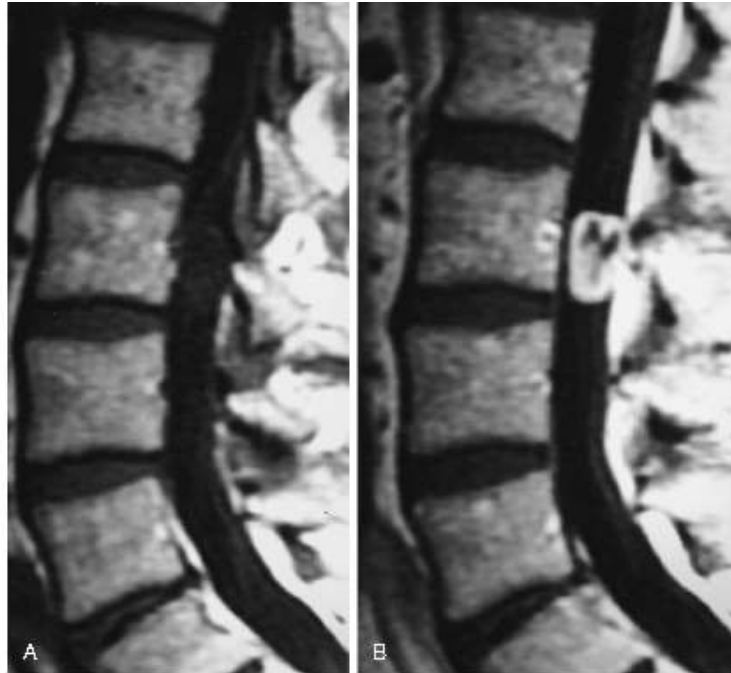
- Neurofibromi multipli fanno porre diagnosi di Neurofibromatosi:

Tipo I più frequente – associata a fibromi cutanei, macchie caffè e latte, anomalie scheletriche e localizzazioni a livello di nervi spinali (spesso asintomatica)

Tipo II più spesso associata a neurinoma dell VIII nc

## **Tumori della guaina neurale**

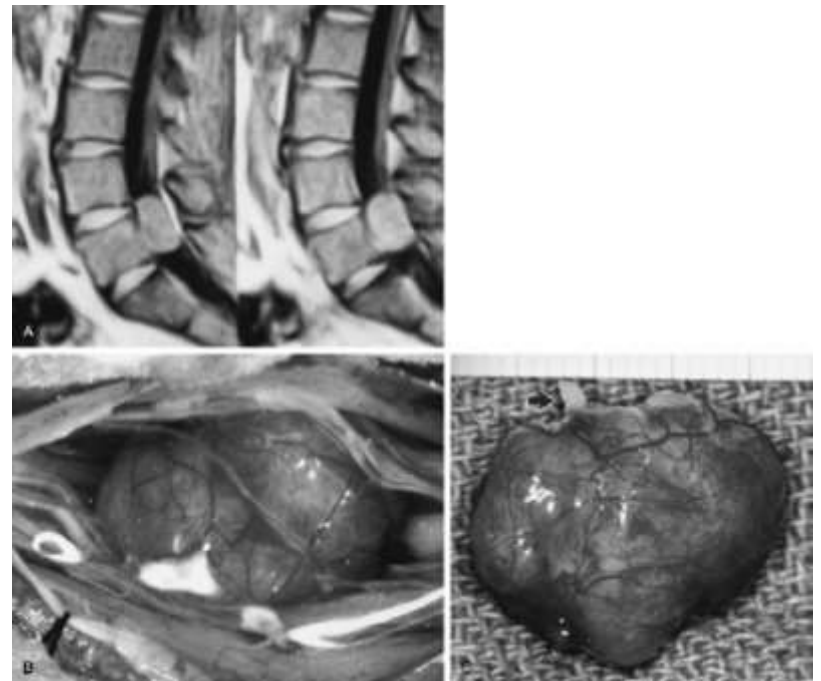
- **Maggioranza sono schwannomi solitari**
- **Picco di incidenza; 4<sup>th</sup> – 6<sup>th</sup> decade**
- **Maschi = femmine**
- **Maggioranza nasce dalle radici dorsali**
- **I Neurofibromi nascono più spesso dalle radici ventrali.**
- **10% epidurali o paraspinali.**
- **1% intramidollari**
- **Raramente maligni quando lo sono sopravvivenza difficilmente superiore ad 1 anno.**





# Terapia chirurgica

- 1) rimozione totale o subtotale
  - Recidiva rara, più spesso in quelli a clessidra



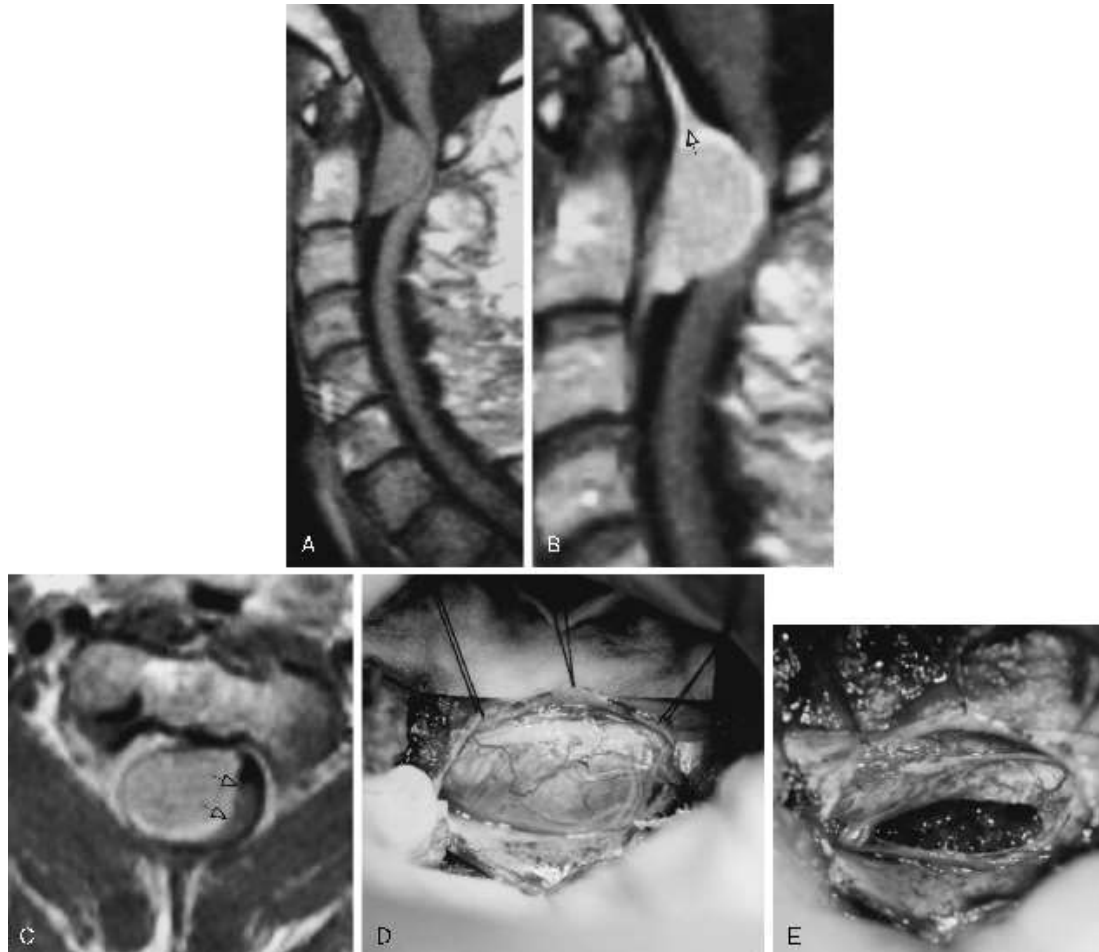
# Meningiomas

- Meningiomas= nerve sheath tumors= 40% of E.M.S.C.T
- Arise from: (mesodermal origin)
  - Arachnoid cap cells
  - embedded in the dura near the root sleeve
  - Pia
  - Dural fibroblast
- Peak incidence= 60-80 year, 75 -80% occur in women 80% are **thoracic**
- Upper cervical and foramen magnum are other common sites ventral position
- Ventrolateral position

# Meningiomas

- 90% intradural
- 10% intra-extradural & entirely extradural
- gross characteristic smooth fibrous
- Histological characteristic :
  - Broad dura attachment
  - Bony involvement does not occurred

# Meningiomas



# **(Meningiomas)**

## **Treatment 1**

- complete surgical removal= treatment of choice
  - Favorable features compared to intracranial meningiomas
  - Absence of bony involvement
  - Lack of venous sinus or major blood vessel involvement
- 10-15% recurrence rate of intraspinal meningiomas at 10 years after total or near total removal.

# Meningiomas

## Treatment 2

- **technique:**
- 1. Standard posterior laminectomy
- 2. Unilateral laminectomy and facetectomy
- 3. Costotransversectomy for ventral thoracic tumors
- 4. Lateral extra cavitory for ventral thoracic tumor
- 5. Extreme lateral approach (Sen & Sekhar method) for significant tumor components above foramen magnum.

# Meningiomas

## Treatment 3

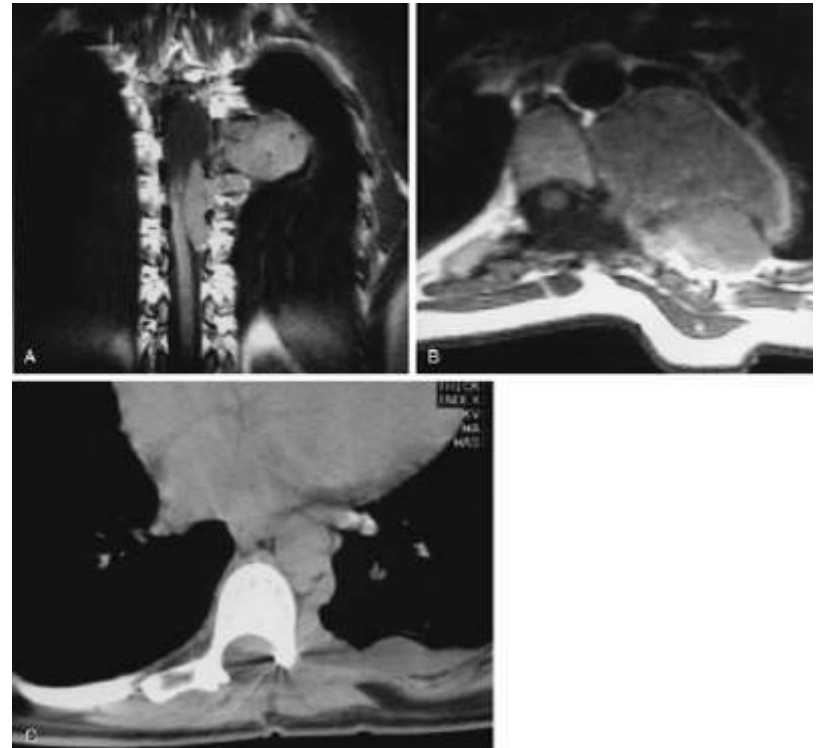
- 6. large tumors are debulked and then removed, dural attachment is excised or extensively coagulated.
- 7. divide arachnoid adhesions to prevent
  - A. Tethering
  - B. delayed syrinx formation
  - C. arachnoiditis
  - D. hydrocephalus



# Meningiomas

## Treatment 4

- Rarely spinal meningiomas may extend through a dural nerve root sleeve & present as dumbbell tumor
- Management
  - Excision and patch graft
  - Extensive in situ coagulation

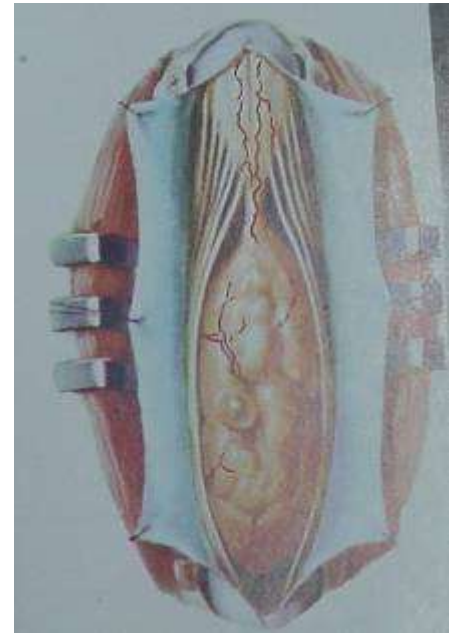


# FILUM TERMINAL EPENDYMOMA

- 40% of spinal canal ependymomas arise within filum terminale
- **Proximal portion of filum = most common site.**

Astrocytoma, oligodendroglioma and para ganglioma may also originate in the filum terminal

- 3<sup>th</sup> – 5<sup>th</sup> decade= most common
- Men= women
- Myxopapillary= most common
- Almost all are biologically benign



## Filum Terminale Treatment

- Size and relationship of tumor to the surrounding roots and cauda equina determine the role of surgery.
- Gross total en bloc resection should be attempted whenever possible.
  - For small and moderate size tumor
  - Well circumscribed.
  - Inter and decompression may increase the risk of dissemination .
  - Recurrence after en bloc resection are rare.

# Filum ependymomas treatment

- Large filum terminal ependymomas can present significant problems for surgical resection.
- High risk of seeding through CSF ( have been present for many years)
- Entire neuraxis should be evaluated.
- These tumor may reach enormous size.
- May insinuate among the roots and within the arachnoid sheaths of the cauda equina

# Filum ependymomas treatment

- **Surgical Technique**

- piecemeal & subtotal removal
- Diminish the tumor bulk
- 20% recurrence rate if a near total piecemeal removal has been achieved.

- **Radiotherapy**

- delay in situation in which surgery can be contemplated
- For early tumor recurrence in biologically aggressive tumors.
- Postoperatively: for significant tumor remnant or dissemination
- After repeated surgery for tumor recurrence.

# Tumori intramidollari

- **primitivi gliali**  
**80%**

# Tumori intramidollari

## DD.lesioni non neoplastiche

- Infiammatorie
- Ascessi batterici
- Mieliti
- Sclerosi multipla
- Tuberculoma
- Sarcoidosi





# ASTROCITOMI MIDOLLARI

- Sono il 3% di tutti gli astrocitomi
- 60 % regione cervicale – passaggio cervicotoracico
- Maggior frequenza nelle prime tre decadi (il 90% nella prima decade)

# ASTROCITOMI MIDOLLARI

Sono un gruppo di tumori eterogeno dal punto di vista della:

- istologia
- caratteristiche macroscopiche
- biologia
- storia naturale

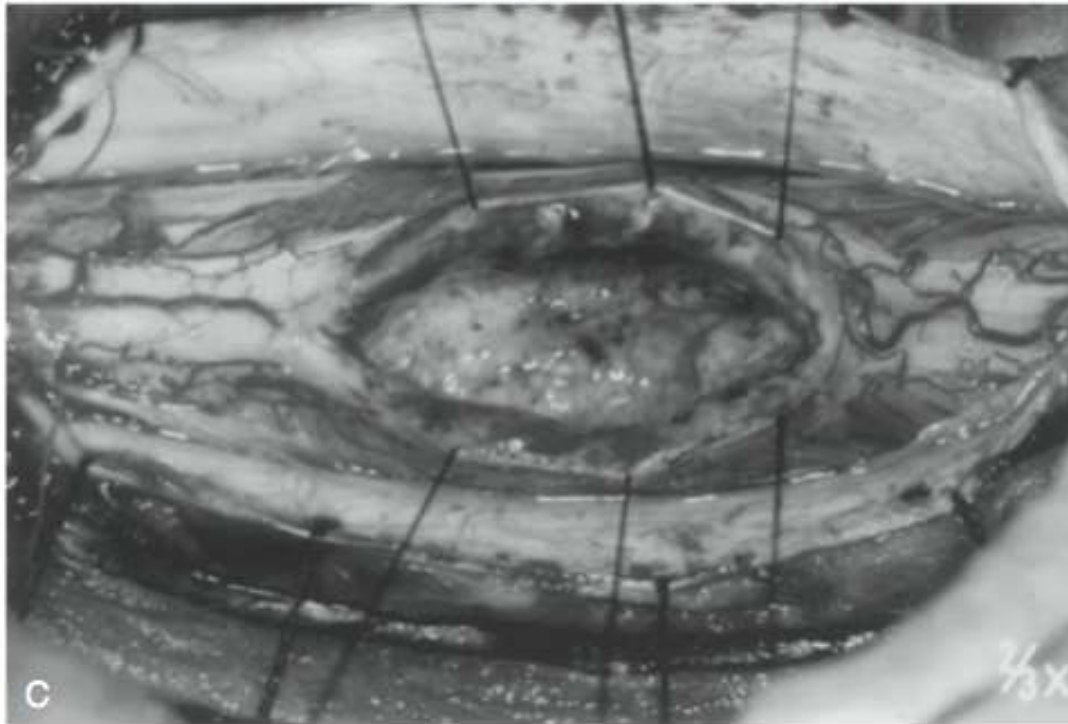
# Astrocitomi intramidollari

- Include
  - Astrocitomi fibrillari di basso grado
  - Astrocitomi pilocitici
  - Astrocitomi maligni
  - Gangliogliomi
  - Oligodendrogliomi
- 90% degli astrocitomi pediatrici sono benigni
- 10% dei gliomi pediatrici sono astrocitomi maligno o glioblastomimaligni are malignant astrocytomas or glioblastomas

# Tumori intramidollari

## astrocitomi

- Gli astrocitomi fibrillari prevalgono nell'adulto
- L'astrocitoma pilocitico prevale nell'adolescenza
- Nell'adulto il 25% degli astrocitomi sono maligni.

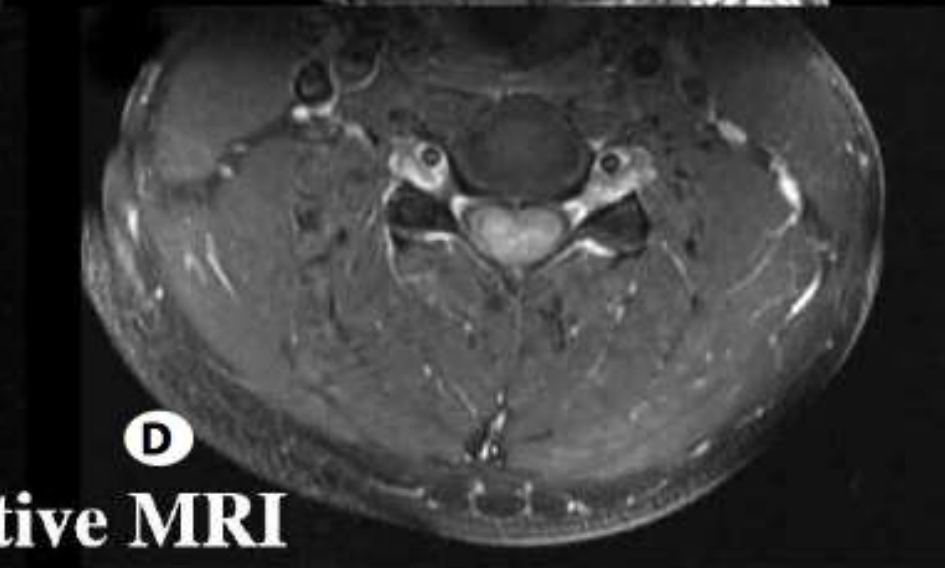
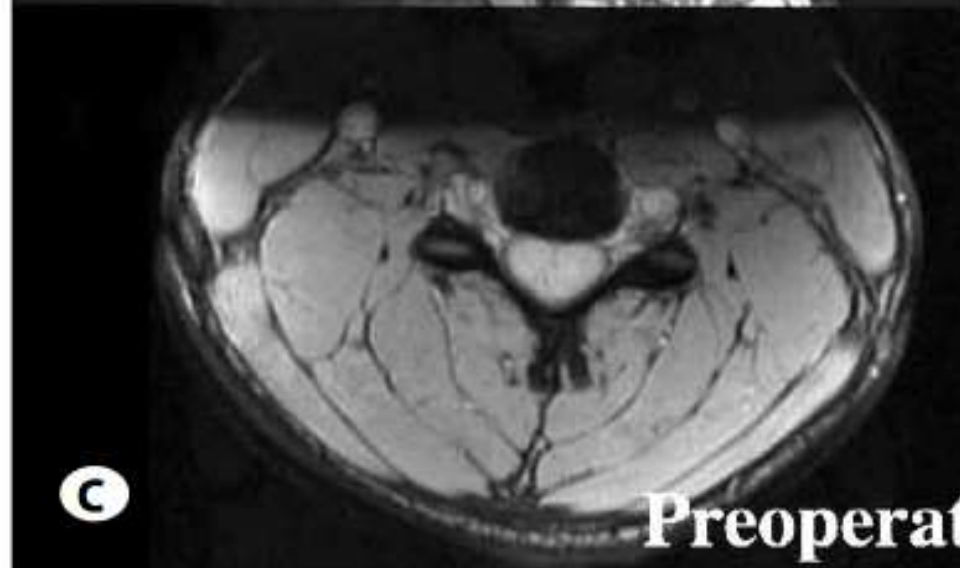


**FIGURE 101-2.** Gadolinium-enhanced sagittal (A) and (B) axial MRI scans show a focal, uniformly enhancing intramedullary mass. Irregular tumor margins are apparent on the axial view. At surgery, a focal benign astrocytoma with infiltrating margins was radically, but subtotally, resected. An intraoperative photograph after tumor resection (C) demonstrates indistinct infiltrating tissue margins.

# Tumori intramidollari

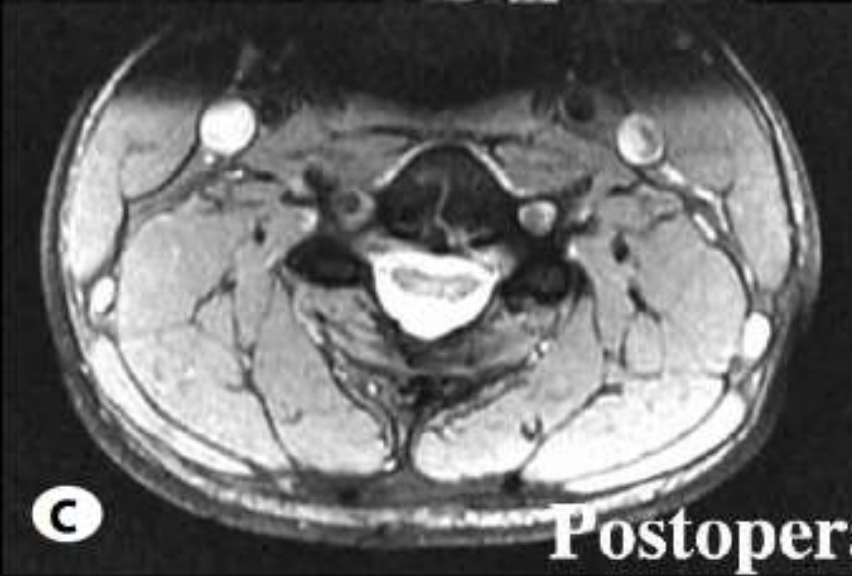
## Ependimoma

- Il più frequente tumore IM nell'adulto.
- Nessuna prevalenza di sesso.
- Molti sottotipi istologici.(praticamente tutti benigni)
- Privi di capsula ma ben circoscritti.  
Origina da cellule gliali.



**Preoperative MRI**





Postoperative MRI

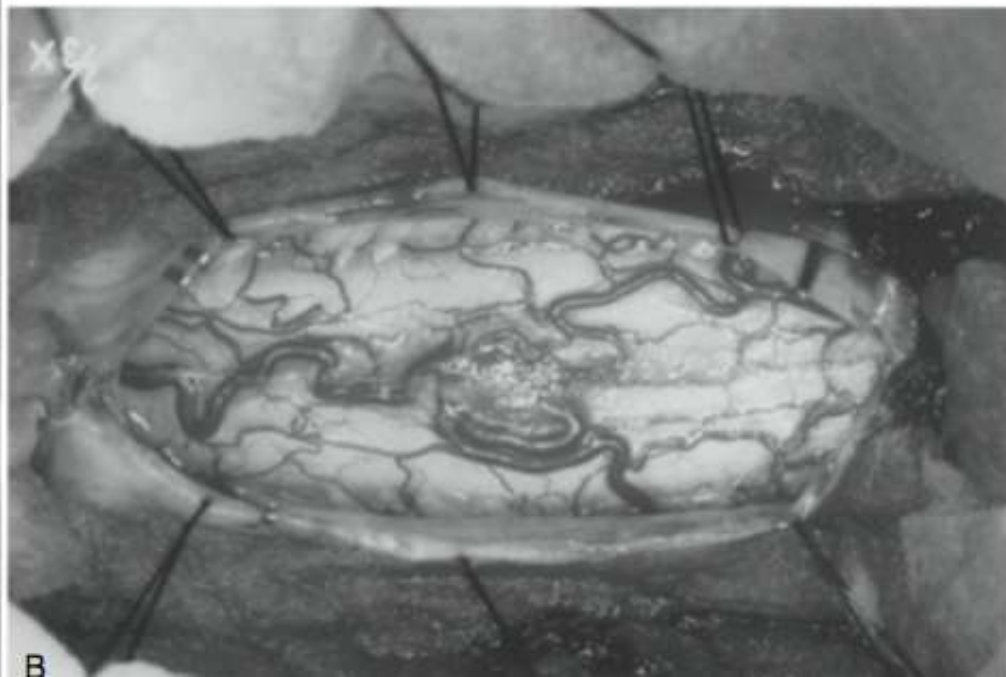
# Tumori Intramidollari

## Emangioblastoma

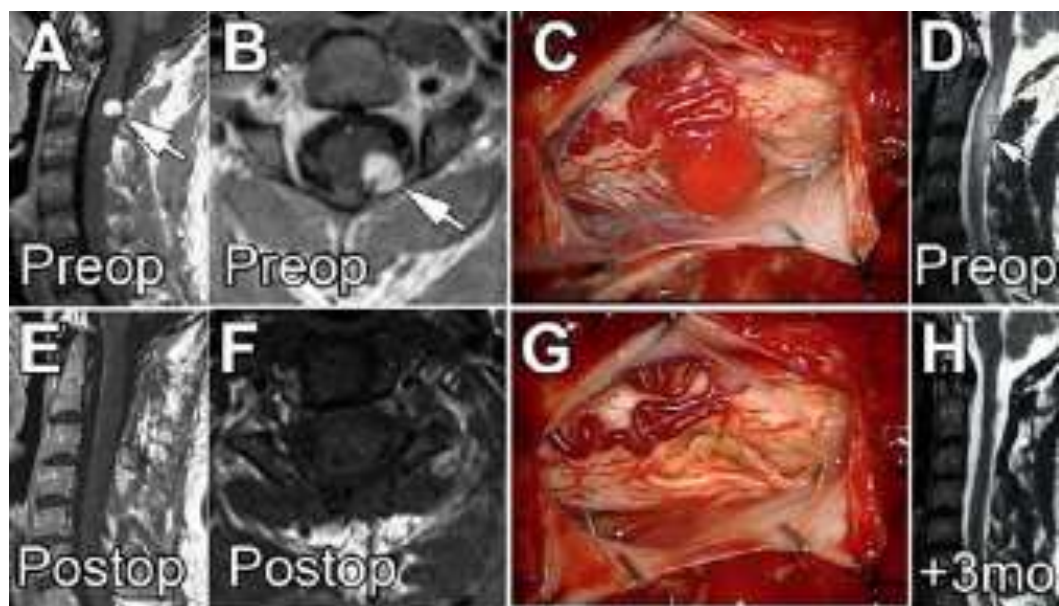
- 3-8% di tutti i T.I.
- 15-25% in associazione con S. di von Hippel-Lindau.
- Rare in childhood.
- Tumori benigni di origine vascolare.
- Nettamente circoscritti non capsulati.
- Aderenza con la pia
- Localizzati prevalentemente in sede dorsale o dorsolaterale



A

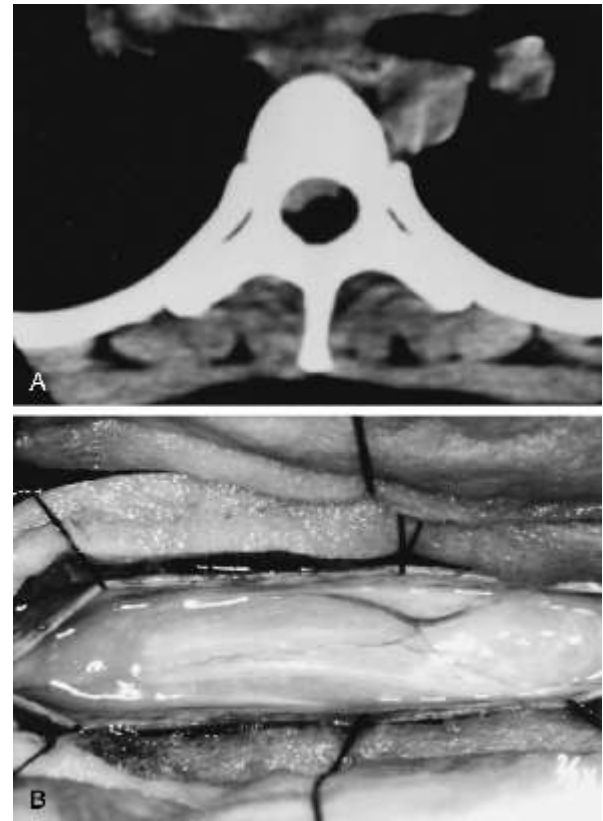


B



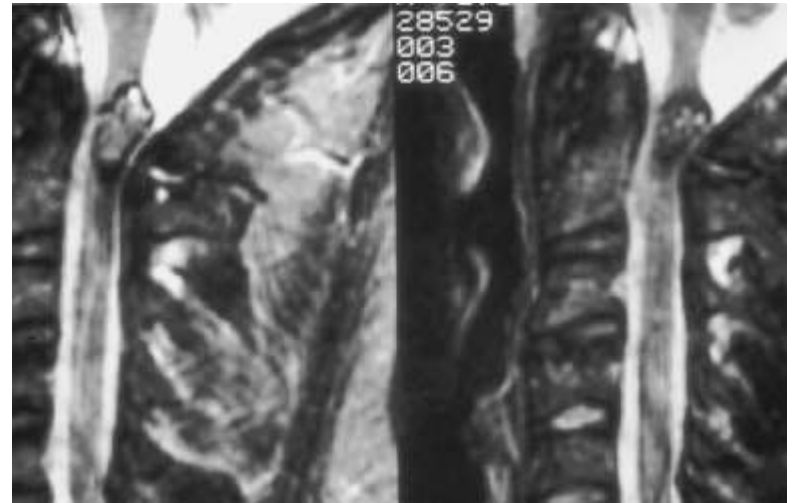
# Tumori intramidollari

- Lesioni disembrigenetiche
  - Lipomi= I più comuni  
1% di tutti I TI



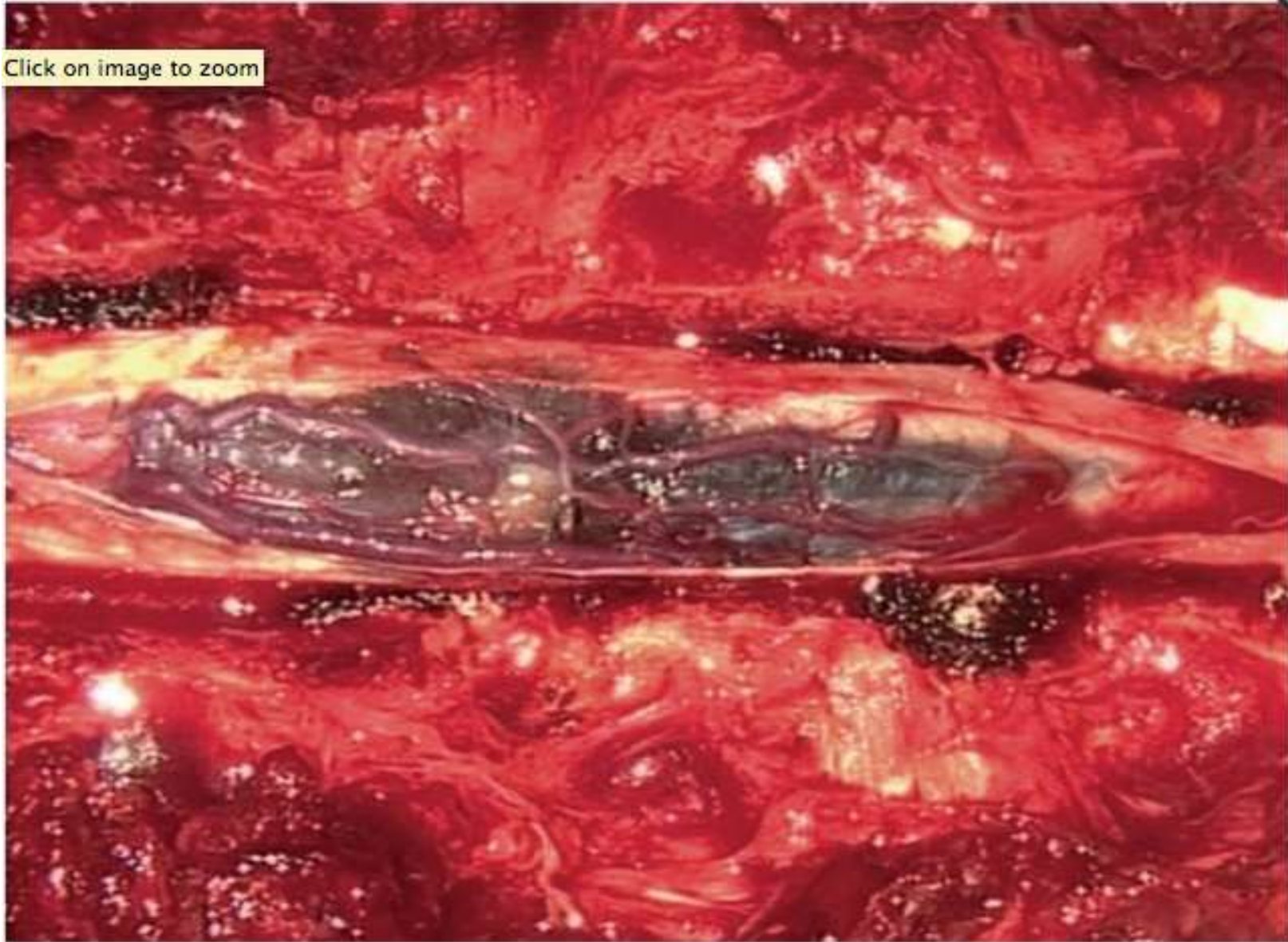
# Tumori intramidollari

- metastasi 2% (difficile diffusione ematogena)
  - Polmone mammella
  - Melanocitoma
- Malformazioni vascolari (cavernoma)





Click on image to zoom



Operation microscope view of the surgical area. Dark gray pigmented intramedullary lesion is exposed after dural incision.

# TUMORI INTRAMIDOLLARI

## CARATTERISTICHE CLINICHE

- Variabili
- Sintomi precoci aspecifici
- Durata dei sintomi prima della diagnosi lunga:
  - 2-3 anni.
  - Settimane o mesi in caso di lesioni maligne o metastatiche
  - Decorso più breve se emorragie intratumorali (es ependimomi)



# TUMORI INTRAMIDOLLARI

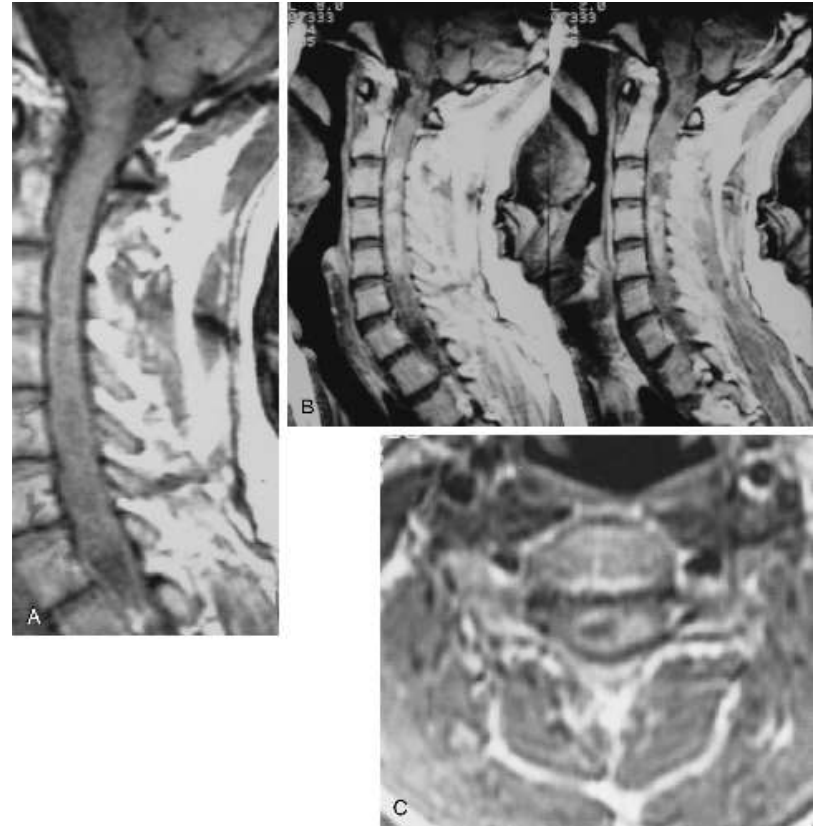
## Caratteristiche cliniche

- Sintomi
  - Dolore = il più frequente
  - Disturbi sensitivi = 1/3 dei pazienti
  - Disturbi motori = 1/3 dei pazienti
  - Disestesie
  - Senso di addormentamento
  - -
  - -

# Tumori Intramidollari

## Radiologia e imaging

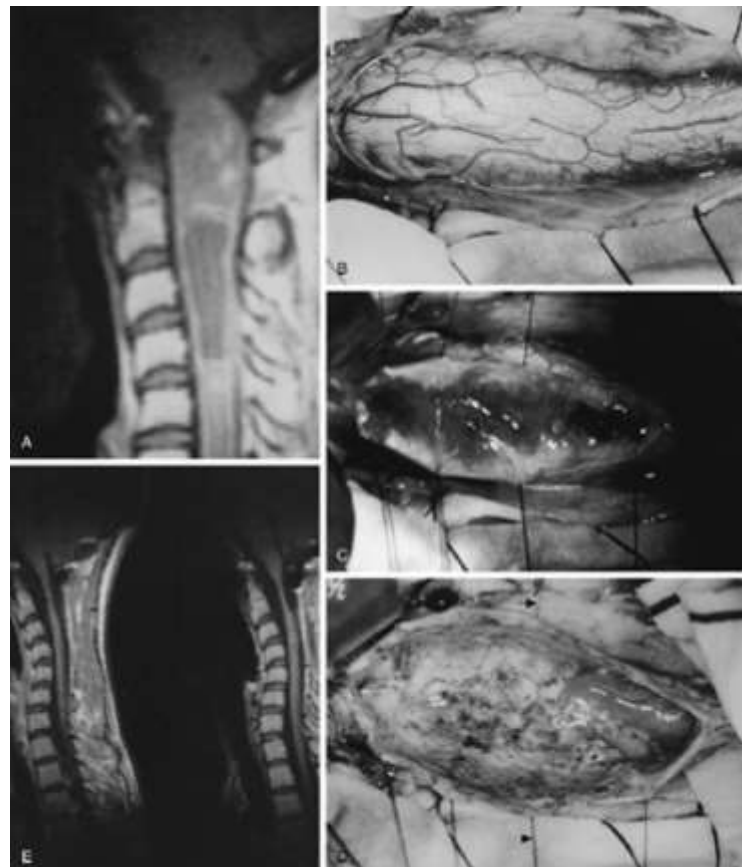
- Radiografia standard: obsoleta
- C.T Scan - Mielografia
- RM: esame di scelta
  - Molti tumori intramidollari sono isointensi o leggermente ipointensi in T1
  - Spesso si evidenzia solo un mal definito rigonfiamento del midollo nelle immagini in T1



# Tumori intramidollari

## aspetto radiologico

- Più sensibili le immagini pesate in T2 (molti tumori sono ipointensi in T2)
- Le immagini più specifiche si hanno in T2 con mdc in quanto quasi tutti i TI assumono contrasto
  - Assunzione uniforme del contrasto (ependimomi)
  - Spesso cisti polari
  - Aspetto variegato (astrocitomi)
- la diagnosi istologica non può essere fatta sul neuroimaging.



# Imaging of Spinal Cord Function and Physiology



Spyros S. Kollias  
University of Zurich, Switzerland

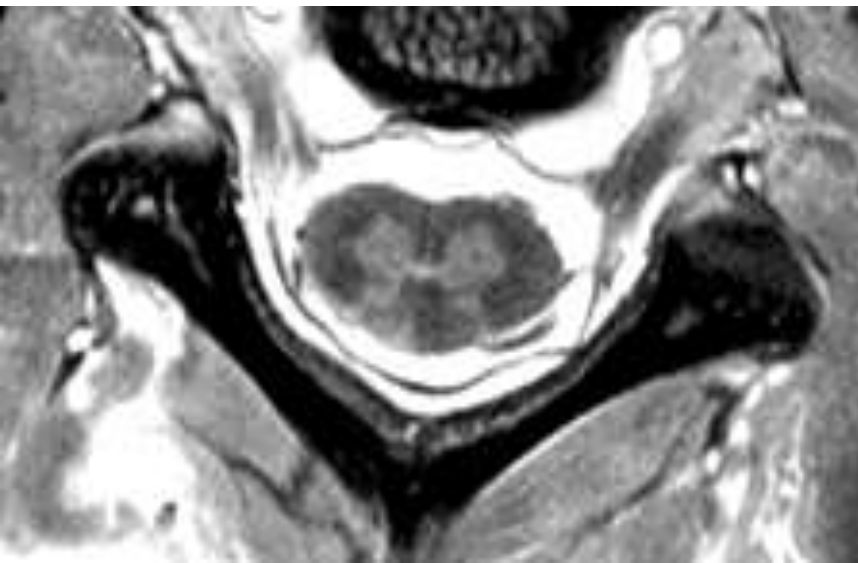
USZ / NRA

# Research focus

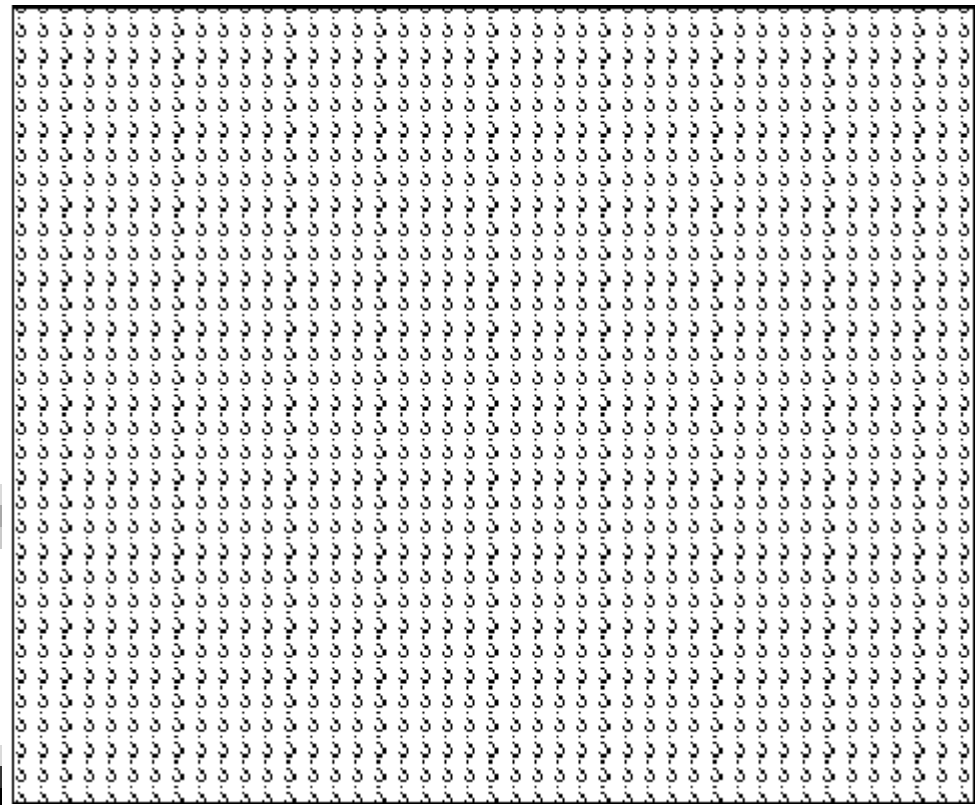
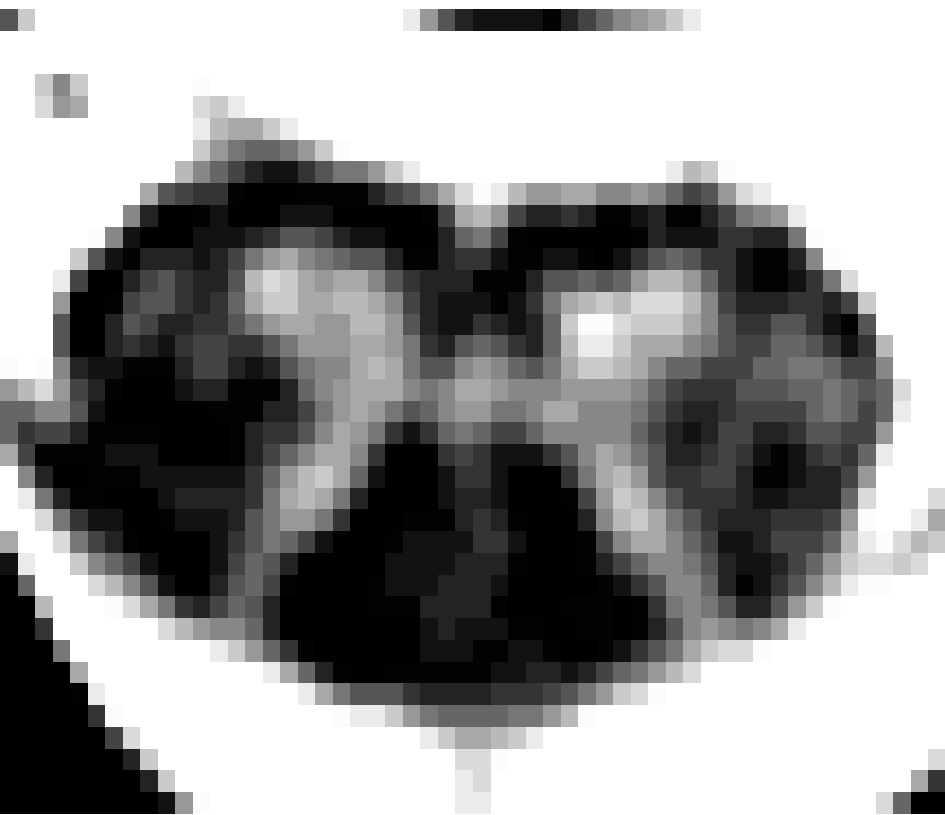
---

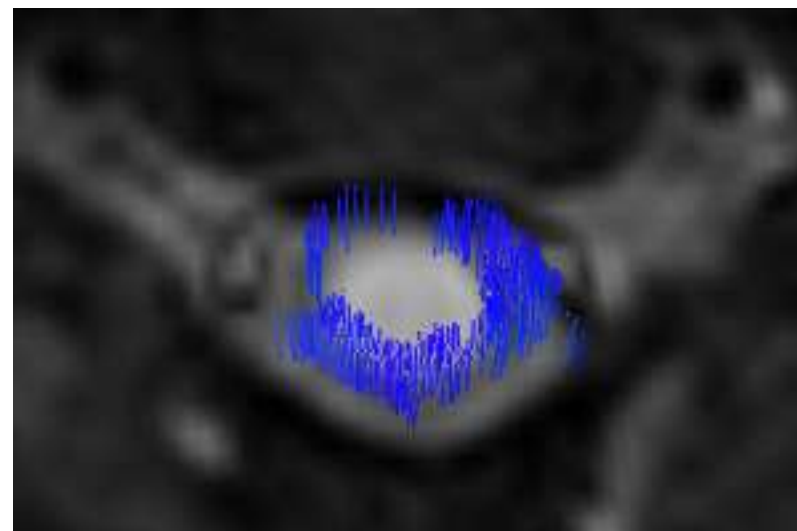
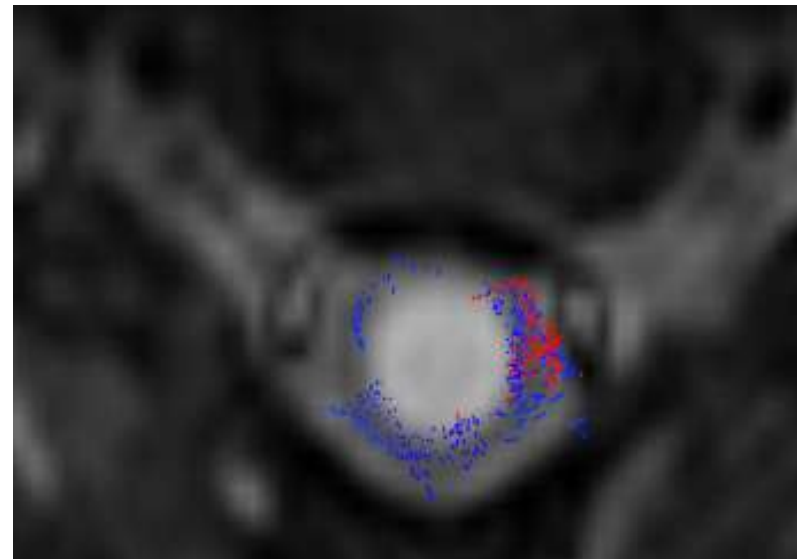
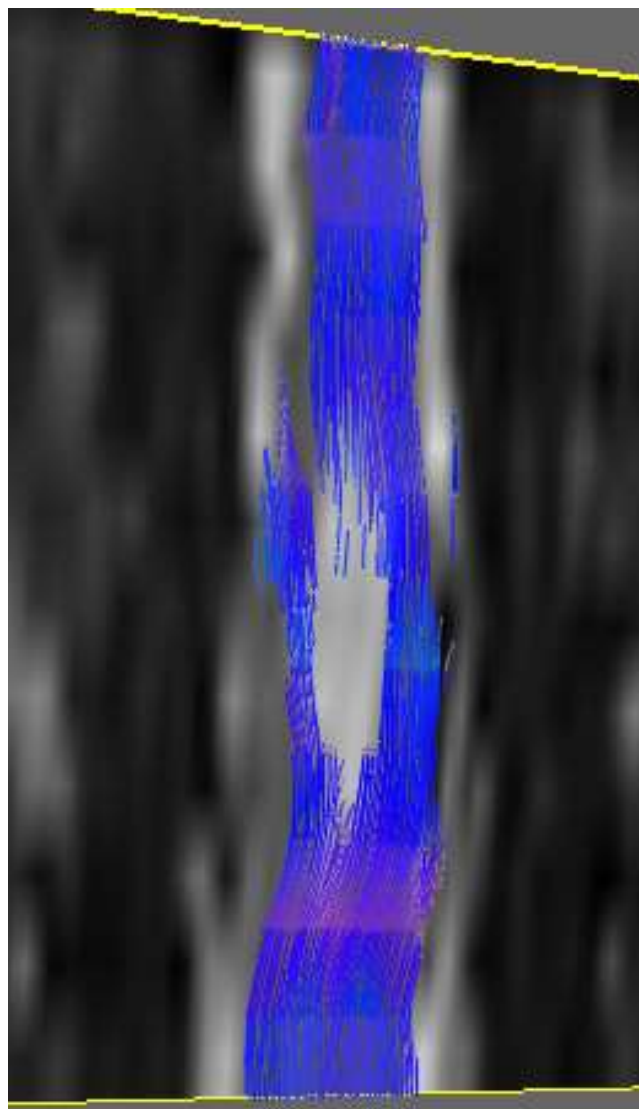
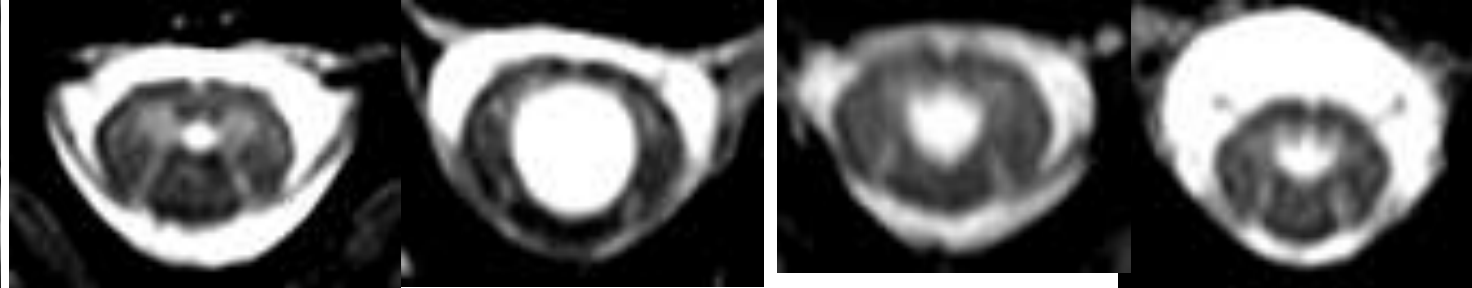
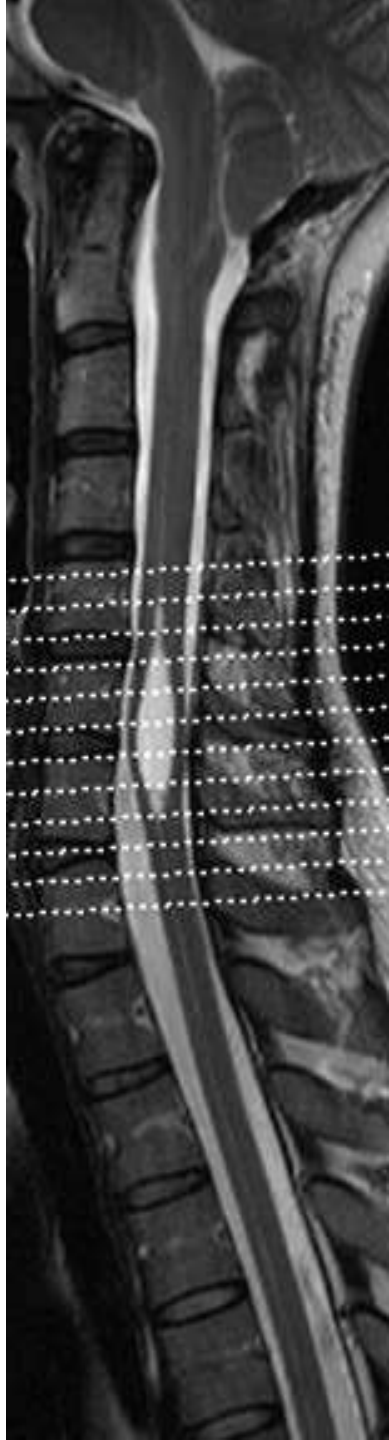
- Optimization of the techniques:
  - High-resolution morphological MRI
  - Diffusion-tensor MRI
  - Functional MRI
  - MR Spectroscopy

# High-Resolution Morphological Imaging



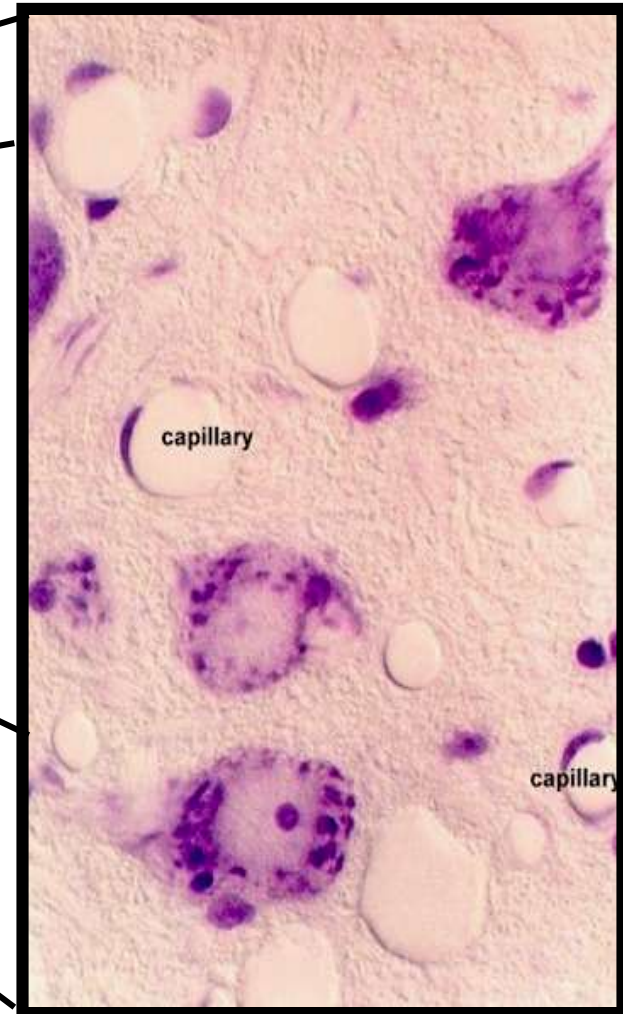
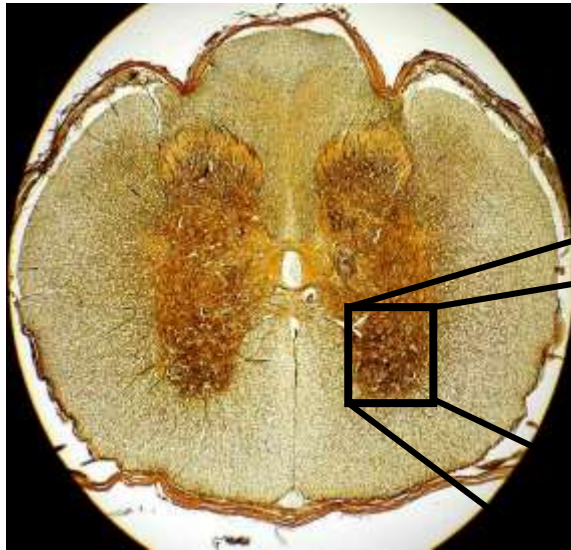
# White matter fiber tracts (bundles)







# Functional MRI of the Spinal Cord



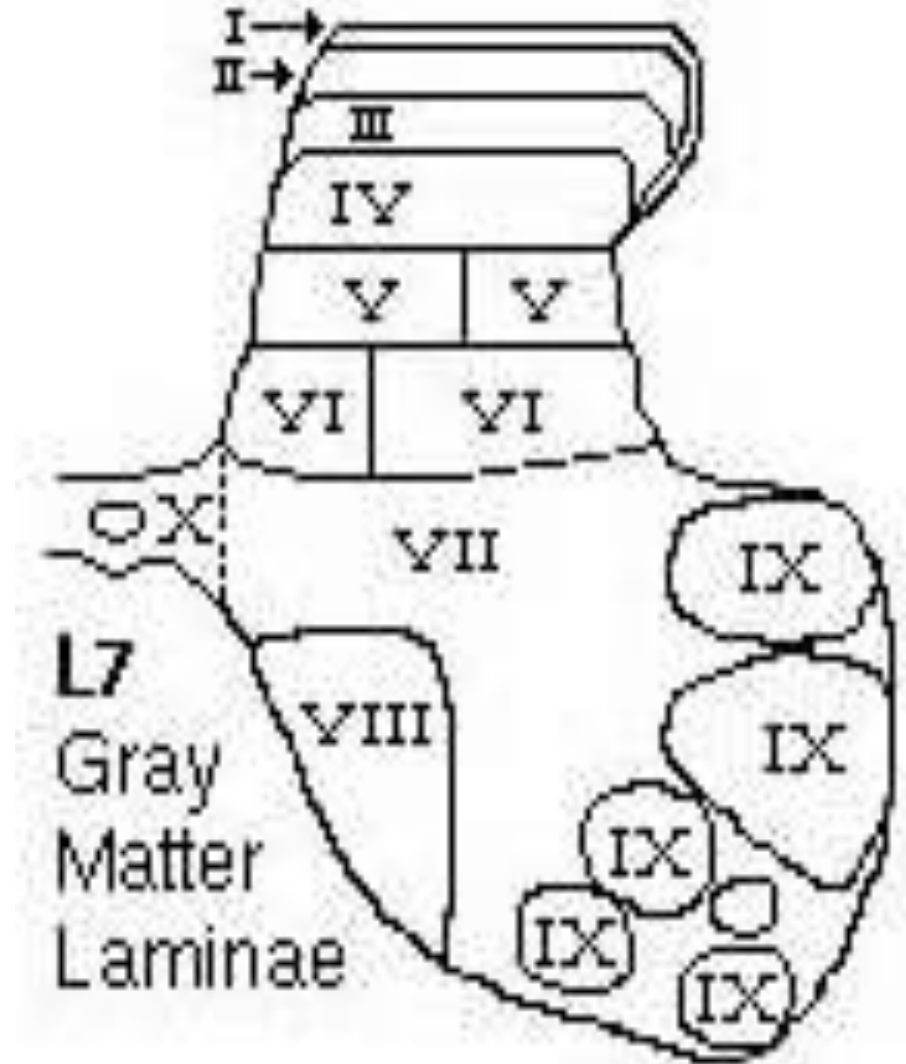
- gray matter:
- high density neuron cell bodies
- high capillary density

# Gray Matter of the Spinal Cord

---

Rexed's laminae:

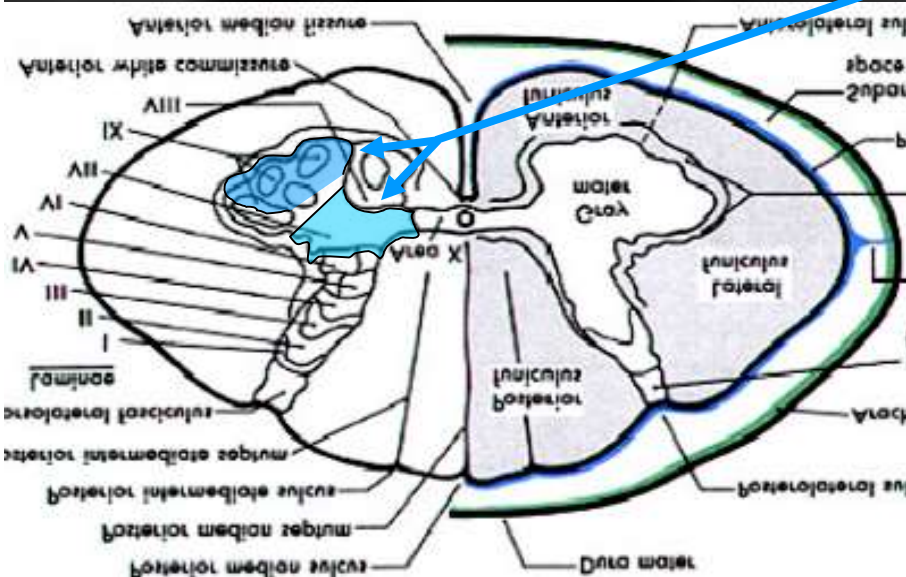
- Dorsal horn (I-VI)
  - projection neurons
- Ventral horn (VIII and IX)
  - Efferent neurons
- Intermediate zone (VII)
  - Interneurons (spinal reflexes)
- Region surrounding the central canal (lamina X)



# Spinal cord fMRI: activation conditions

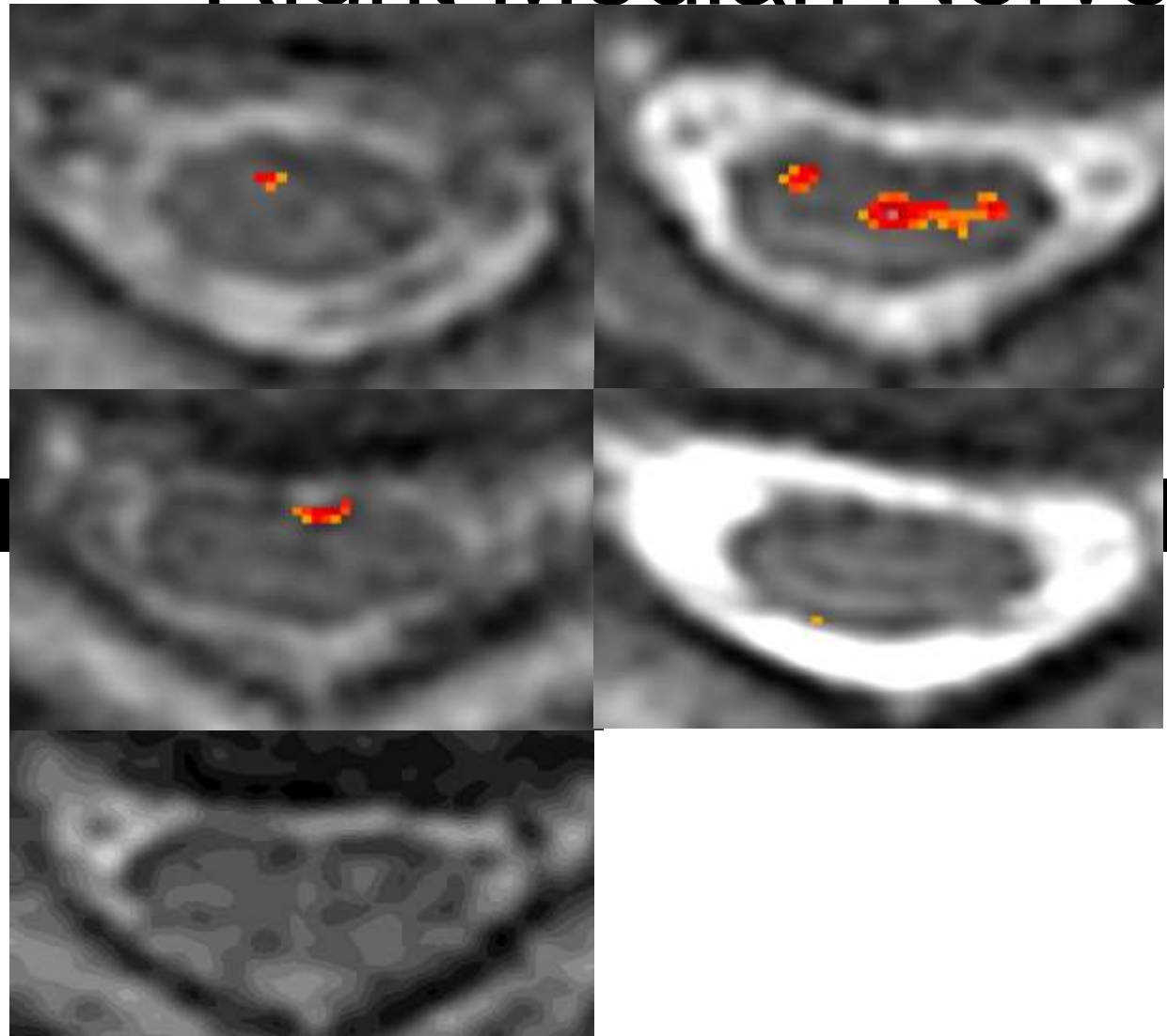
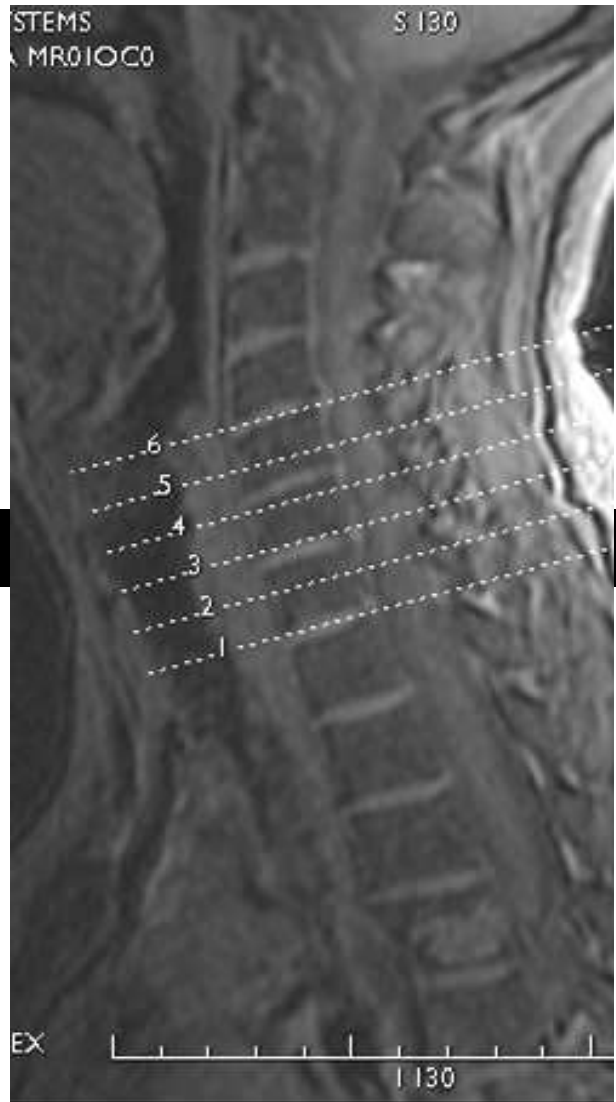
---

- Investigate whether the f-MRI signal can be spatially localized to particular anatomical locations specific to focal upper extremity motor tasks and sensory stimuli
  - motor tasks (R hand, R elbow)
  - sensory stimulation (thermal stimulus)
  - electrical stimulation



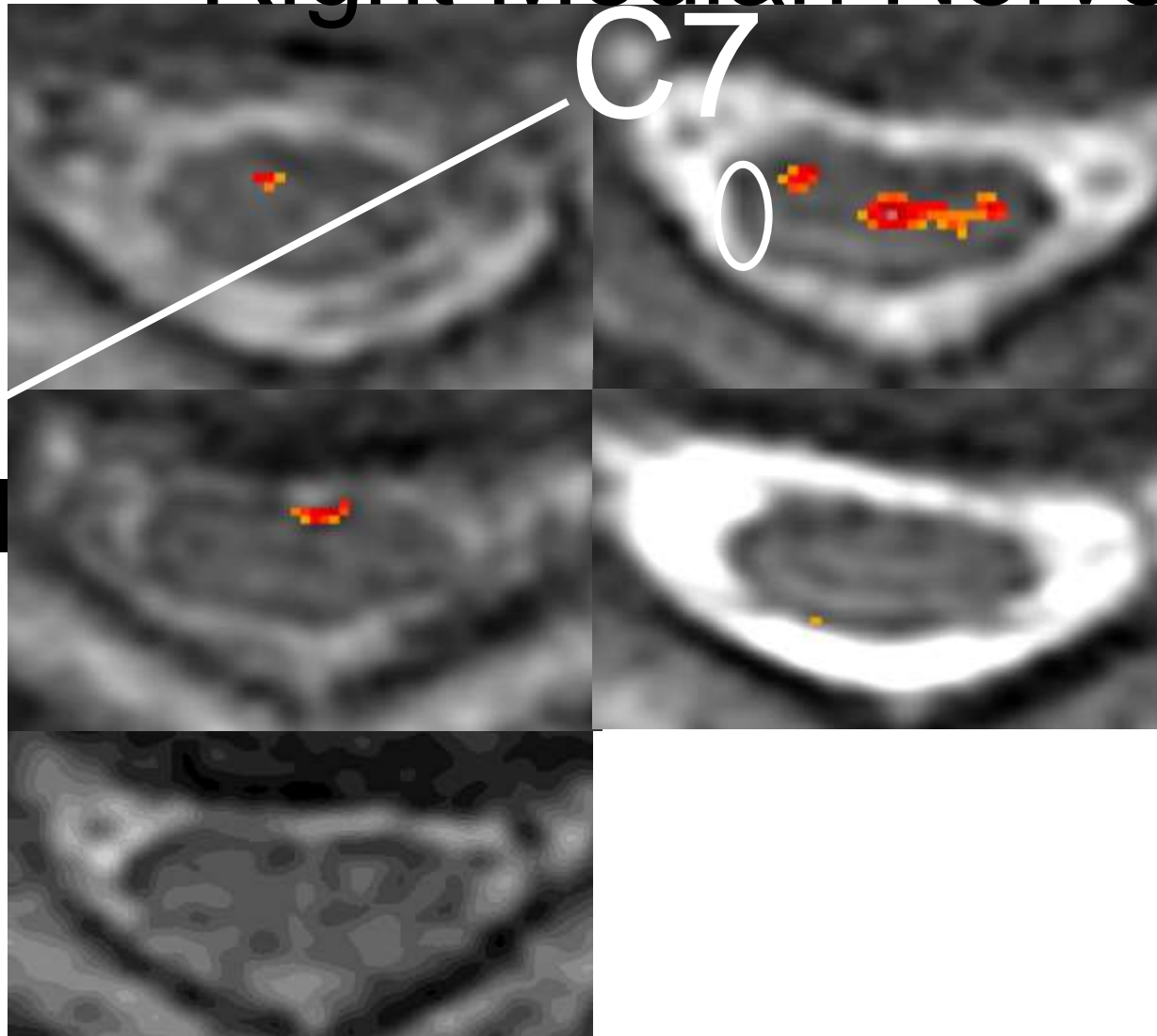
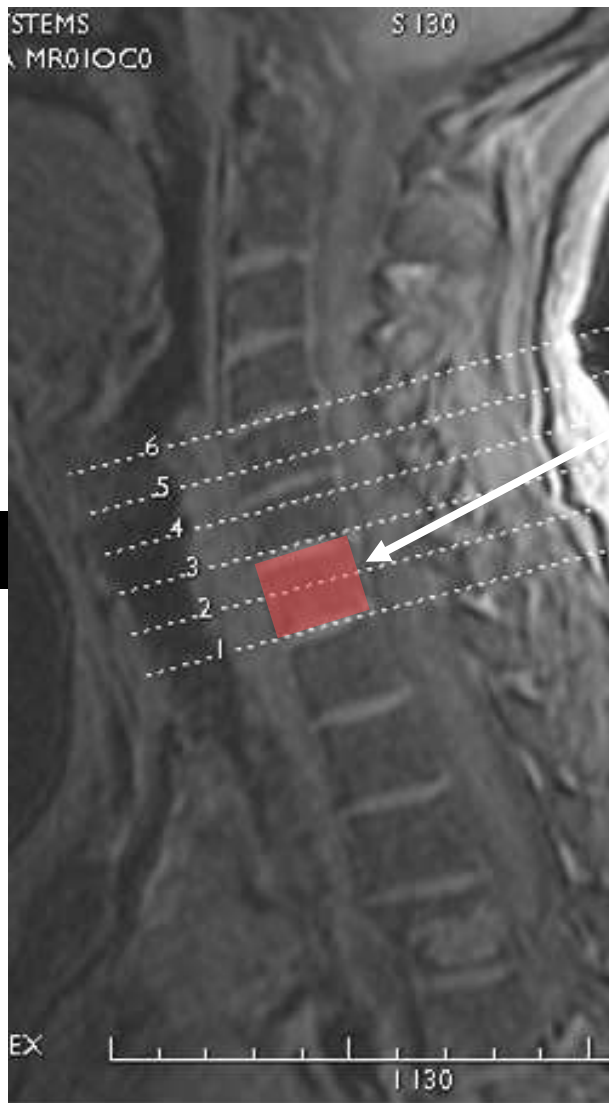
- motor activity was lateralized ipsilateral
- motor activity mainly in the intermediate and ventrolateral gray matter (Rexed's lamina VII & IX)
- comparison of hand and elbow shows the expected segmental organization of the SC

# RIGHT MEDULLARY TUMOR

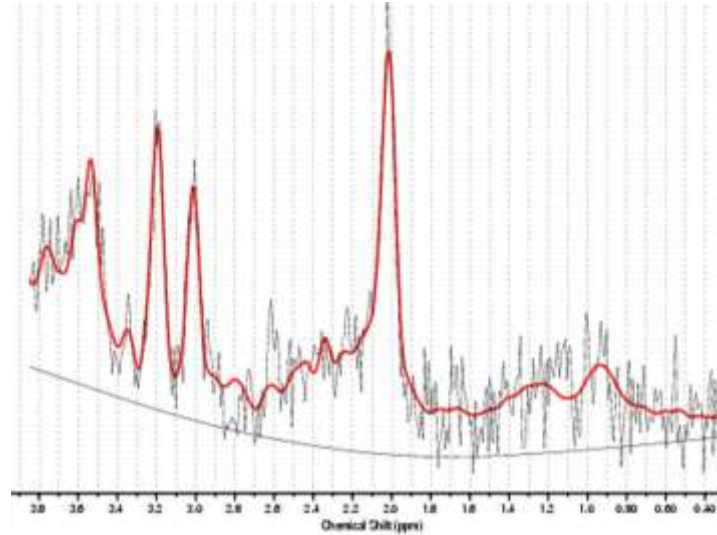
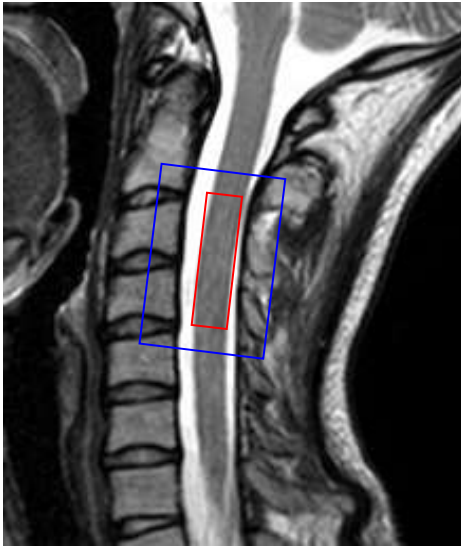




# Right Cervical Nerve



# MR Spectroscopy of the Spinal Cord



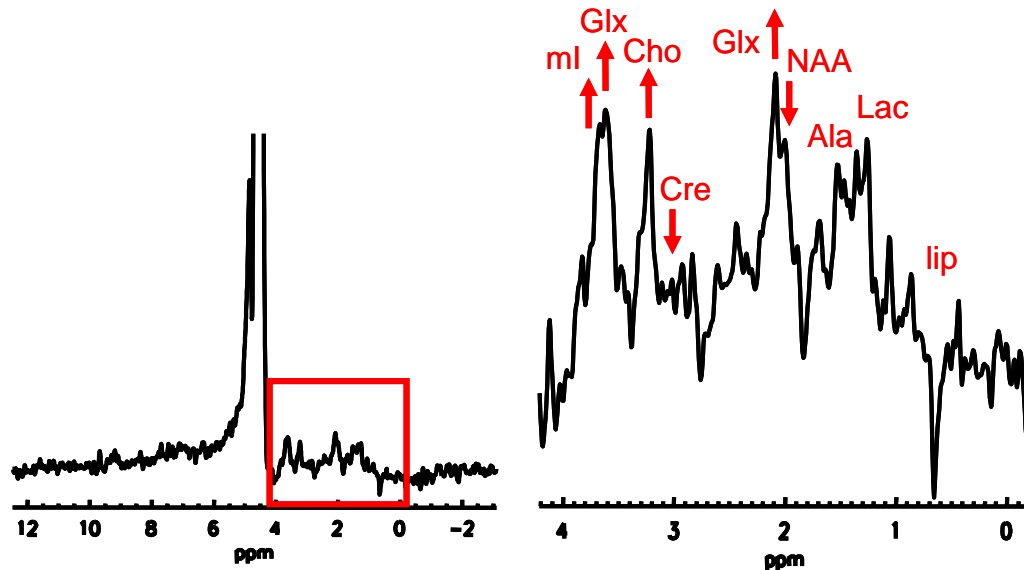
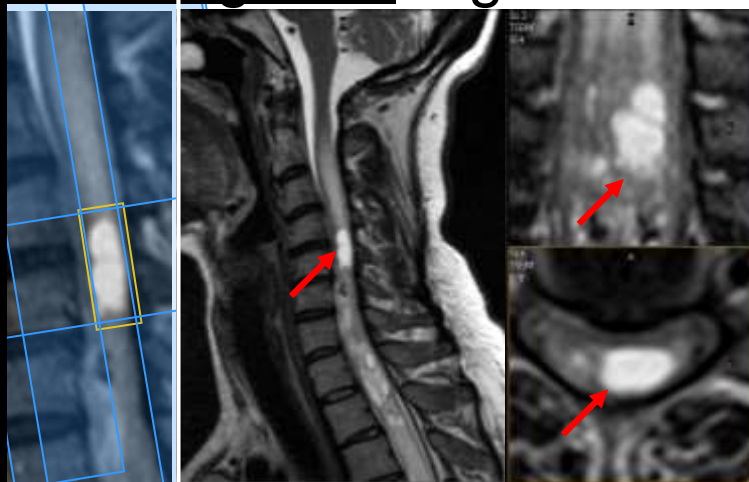
Noninvasive information on the biochemistry of neuronal

Concentration changes of metabolites:

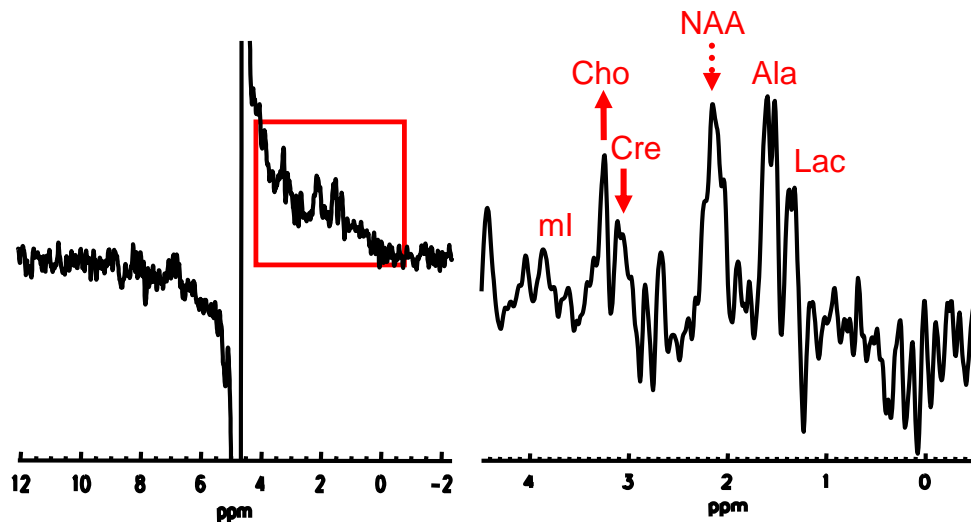
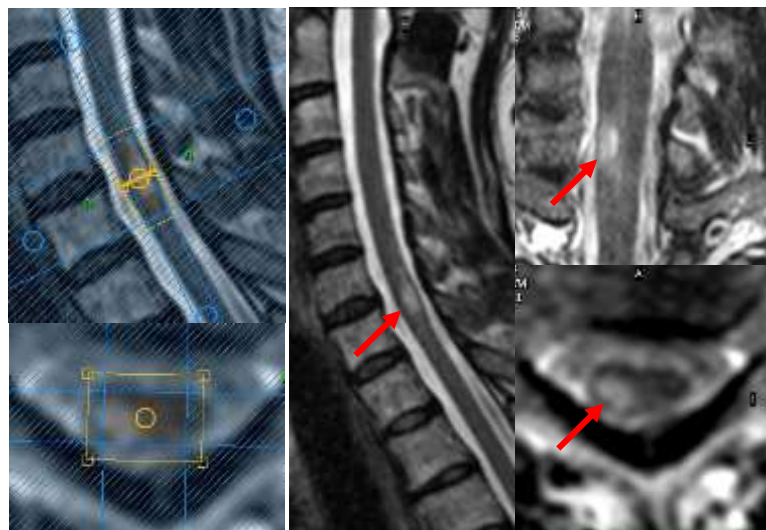
- N-acetyl-aspartate (NAA) → decreased neuronal density
- Choline (Cho) → distorted membrane synthesis
- Creatine (Cre) → malfunction of the energy metabolism
- Myo-inositol (ml) → demyelination



## C 4/5 = grade III glioma



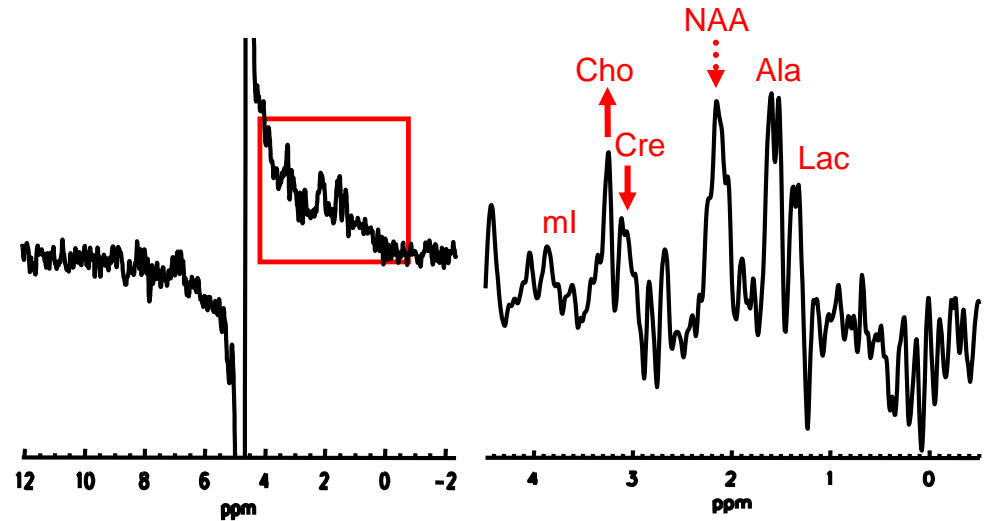
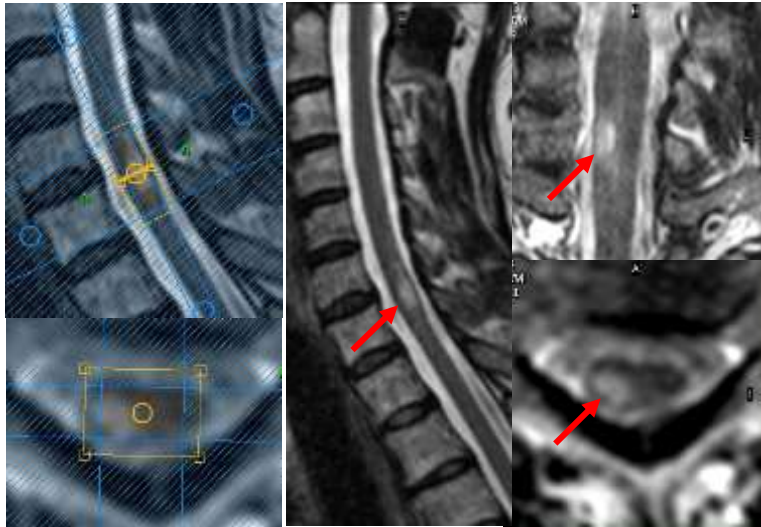
## C 6/7 = low-grade glioma



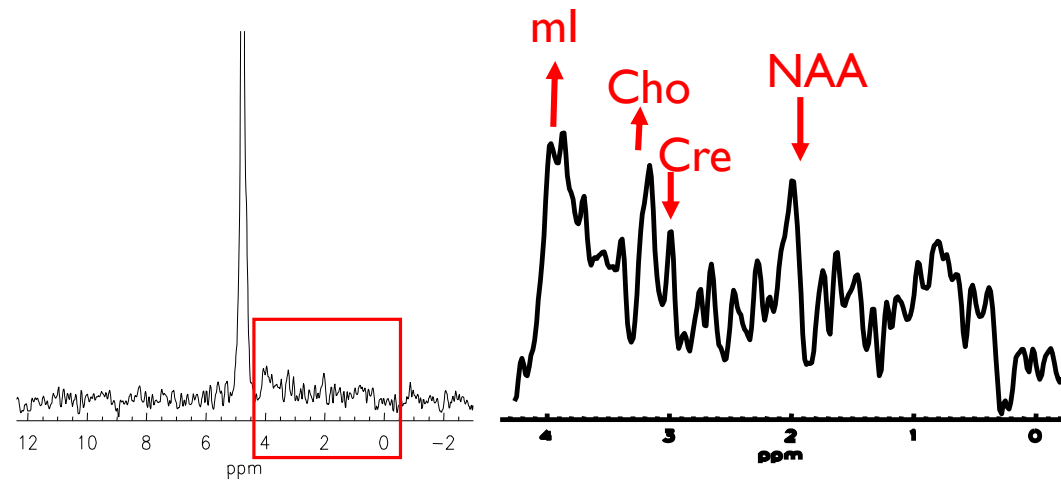
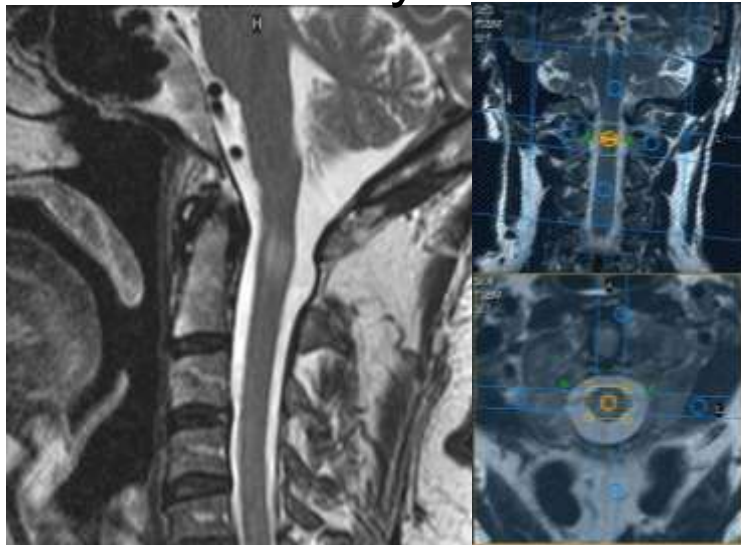
"Quantitative magnetic resonance spectroscopy in the entire human spinal cord at 3T,, Magn Res Med (MRM) 59:1250–1258 (2008)



## C 6/7 – low-grade glioma



## C 1/2 – demyelination

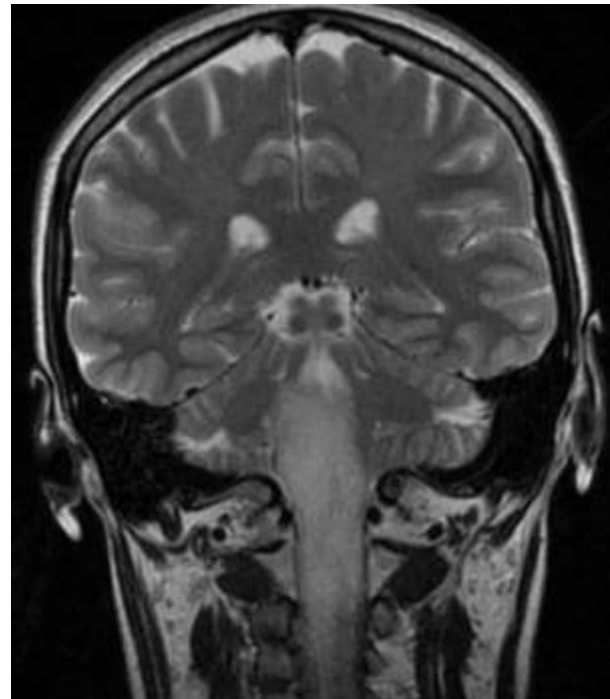
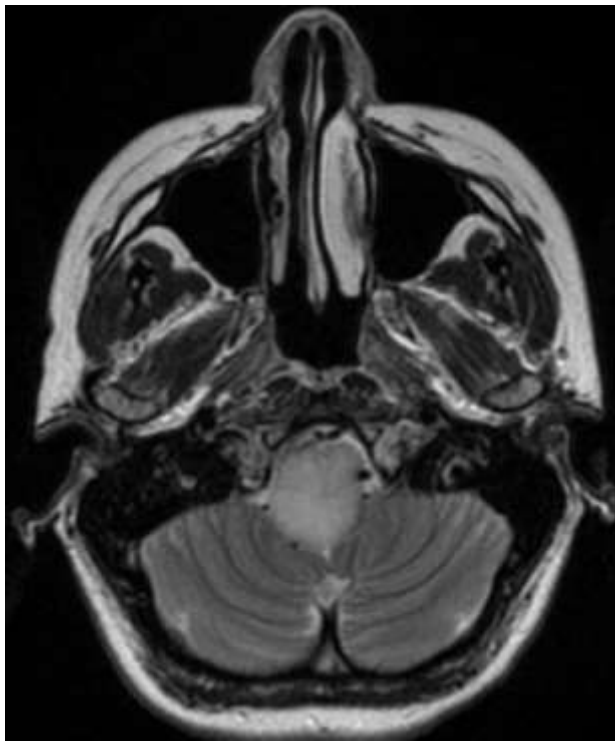
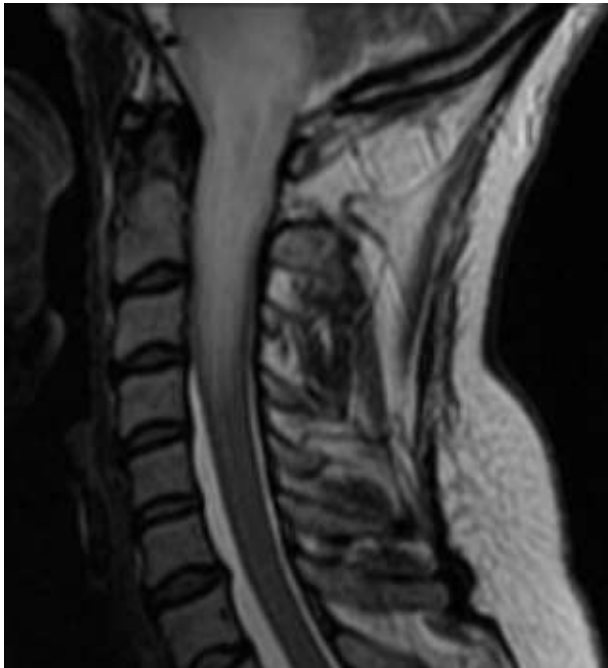


*"Quantitative magnetic resonance spectroscopy in the entire human spinal cord at 3T,, Magn Res Med (MRM) 59:1250–1258 (2008)*

# Tumori intramidollari

## Terapia

- Priorità del trattamento è il controllo a lungo termine della lesione con preservazione delle funzioni neurologiche
- La chirurgia più efficace prevede la completa rimozione della lesione



# Cavernomi spinali

- 1-3% di tutti i tumori intramidollari
- Jallo GI, Freed D, Zareck M, Epstein F, Kothbauer KF: Clinical presentation and optimal management for intramedullary cavernous malformations. Neurosurg Focus 2006; 21:E10.

# Cavernomi spinali

- Analogamente ai cavernomi cerebrali sono lesione ben delimitate costituite da pacchetti di vasi simil capillari senza coinvolgimenti di tessuto nervoso

# Cavernomi spinali

- Caratteristica deposizione di emosiderina ai bordi della lesione Ipointensa in T2

# Cavernomi spinali

- Presentazione acuta
- Presentazione ricorrente
- Presentazione progressiva

# Cavernomi spinali

- Microemorragie che portano a ialinizzazione e ispessimento, gliosi e alterazioni microcircolatorie. Talora parziale trombosi.



# Cavernomi spinali

## storia naturale

Gross BA, Du R, Popp AJ, Day AL:  
Intramedullary spinal  
cord cavernous malformations. Neurosurg  
Focus 2010 Sep; 29(3):E14.

- Overall annual hemorrhage rate 2,5% (range 0-4,5%)

# Cavernomi spinali

## storia naturale

Sandalcioglu IE, Wiedemayer H, Gasser T, Asgari S, Engelhorn T, Stolke D: Intramedullary spinal cord cavernous malformations: clinical features and risk of hemorrhage. Neurosurg Rev. 2003 Oct;26(4):253-6.

- Prospective rehaemorrhage risk 66% per patient / year

# chirurgia

- Indicata lesioni sintomatiche
- IOM

# chirurgia

- Approccio posteriore nelle lesioni dorsali
- Approccio posterolaterale nelle lesioni ventrali (attenzione problema rotazione midollo)

Angevine PD, Kellner C, Haque  
M, McCormick PC: Surgical  
management of ventral  
intradural spinal lesions. J  
Neurosurg Spine. 2011  
Jul;15(1):28-37.

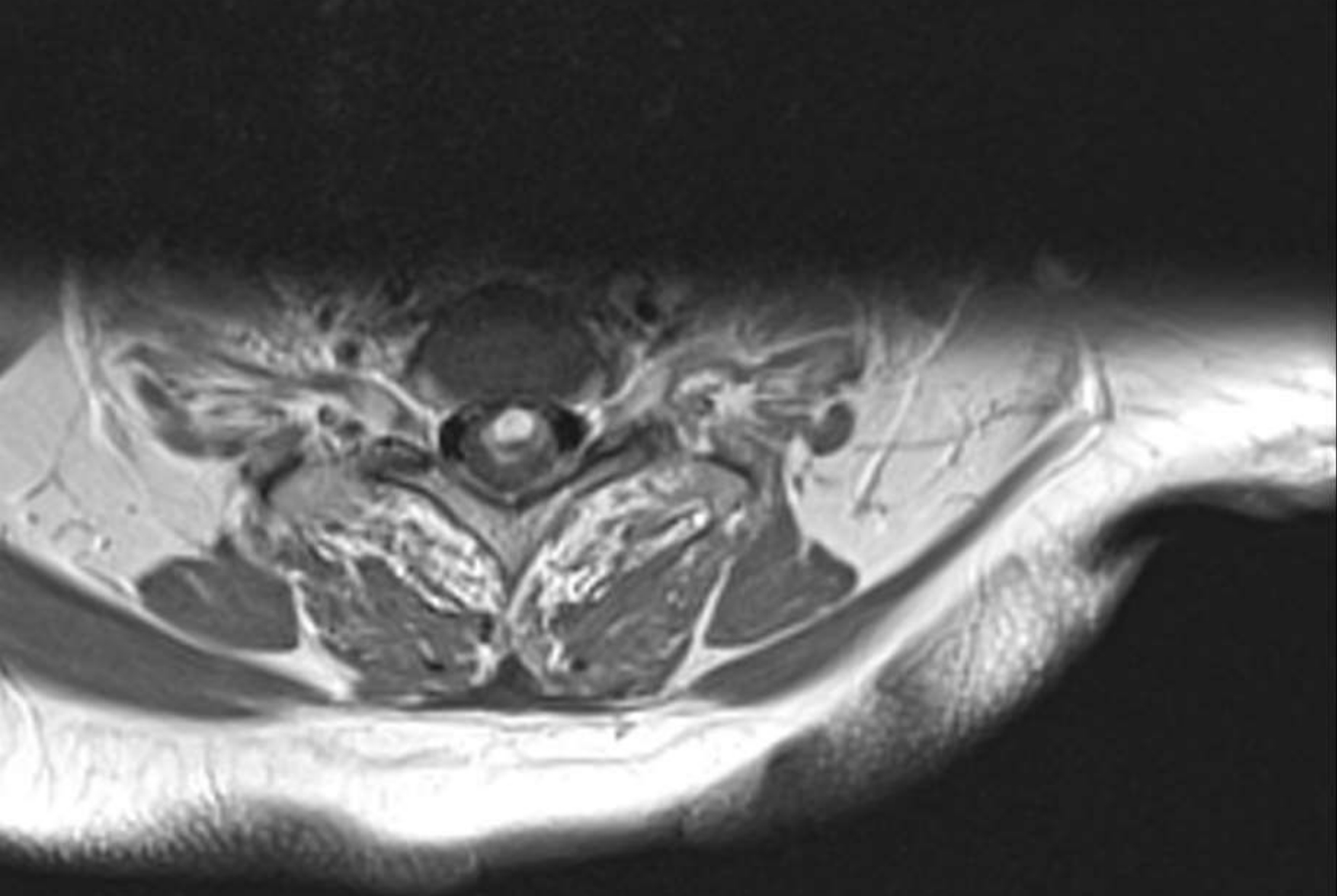
- Donna 75 aa
- Esordio acuto di dolore urente nel braccio e regione scapolare sin. In due settimane progressiva perdita di destrezza nella mano e quindi evoluzione verso emiparesi e caduta della mano sin.

- Rm. A livello della giunzione cervicotoracica Lesione intramidollare ventrale disomogenea, ipointensa in T2

Diagnosi di cavernoma con esteso edema di tutto il midollo cervicale







- Review gruppo di studio francese

## Labauge P. et al Surg Neurol 2008

Conclude: i cavernomi ventrali sono rari e  
con outcome peggiore

- Incisione laterocervicale lungo il bordo anteriore dello scm di sin e accesso al rachide per dissezione avascolare passando fra trachea ed esofago da un lato ed il fascio vascolonervoso. In visione microscopica discectomia C7-T1 e somatectomia C7-T1
- Apertura della dura sulla linea mediana, identificazione e rimozione del cavernoma con assistenza di monitoraggio intraoperatorio

- Chiusura della dura con seta 4-0 e duralseal
- Mesh di titanio (pyramesh, medtronic riempita di un gel di osso sintetico) e placca di titanio (Zephir medtronic fissata con viti)
- Collare Phyladelphia 3 mesi



LOW\_EXM, arti inf. xero  
26x36

LOW\_EXM, arti i...



CR  
18/09/2012  
10:24:43  
1 Immagine



CR  
18/09/2012  
10:24:43  
1 Immagine

2D SERIE



MURGIA ANGELA

WW/WL

MURGIA ANGELA  
18/11/1937  
1462713  
F  
0040394749



ASL RM  
LOW\_EX



LOW\_EXM, arti inf. xero  
26x36

2D SERIE



MURGIA ANGELA

WW/WL

LOW\_EXM, arti i...



CR  
18/09/2012  
10:24:43  
1 Immagine



CR  
18/09/2012  
10:24:43  
1 Immagine

MURGIA ANGELA  
18/11/1937  
1462713  
F  
0040394749



- Progressivo miglioramento dell'emiparesi  
enl follow up a 1-3-6 mesi e rm che  
dimostra la rimozione completa della  
lesione.



2.1



4.1



6.1

A







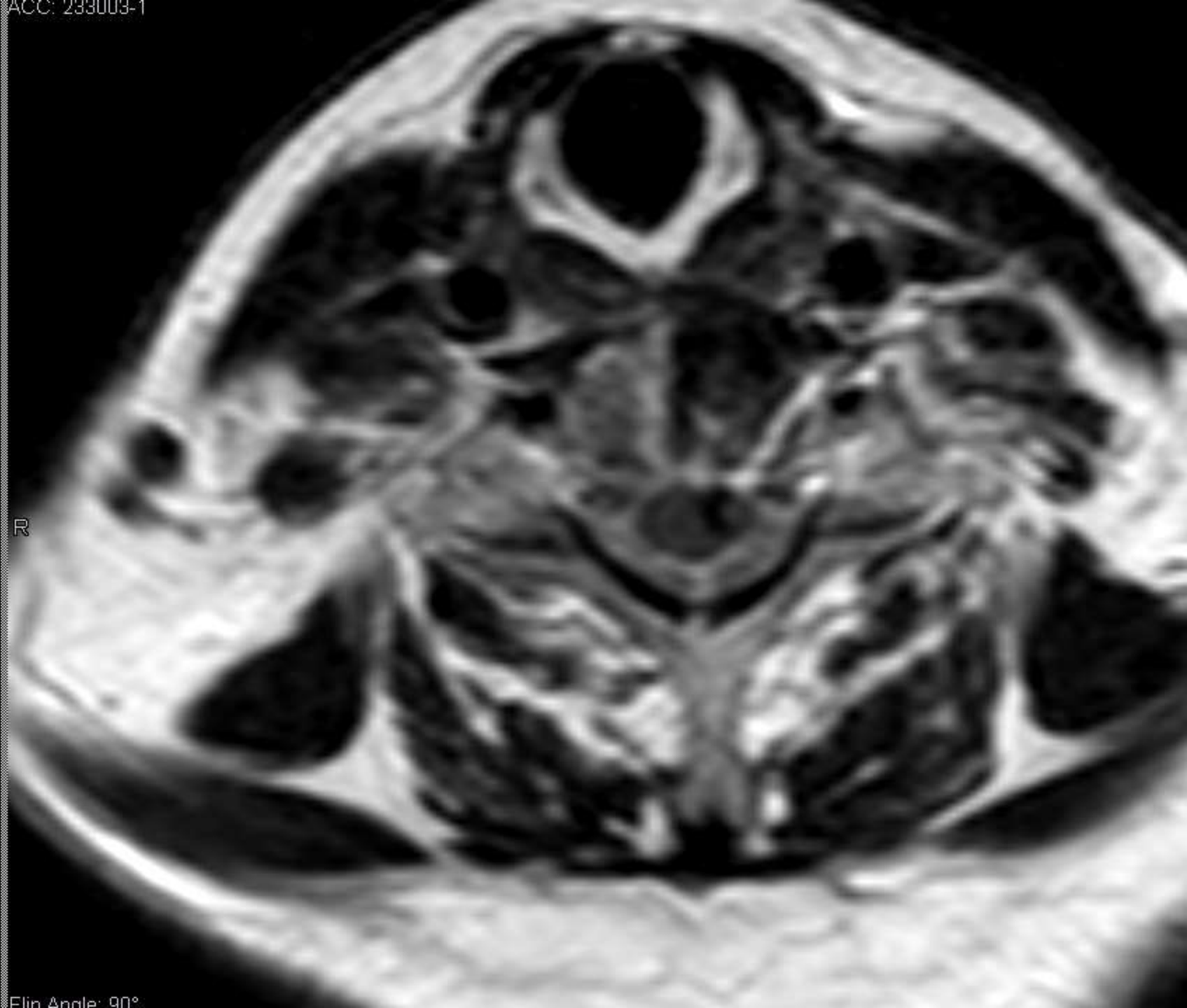
2.1



4.1



6.1



R



2.1



4.1

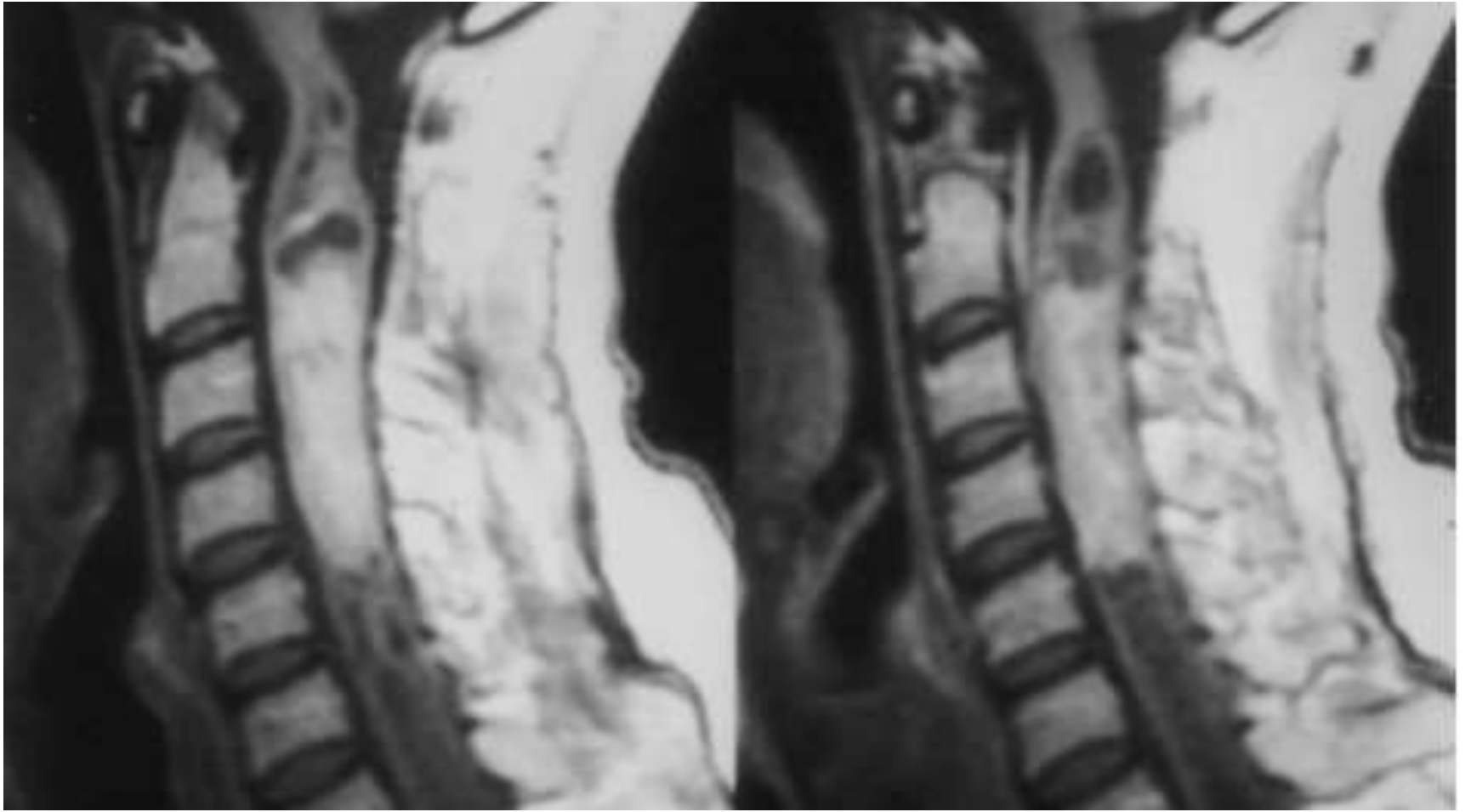


6.1

- In letteratura vi sono solo altri 7 casi analoghi

- George B, Zerah M, Lot G, Hurth M:  
Oblique transcorporeal approach to  
anteriorly located lesions in the cervical  
spinal canal. Acta Neurochir (Wien).  
1993;121(3-4):187-90.





# Conclusions

Aggressive surgery is the best choice  
most of the time.

-

IOM are mandatory for intramedullary  
tumors.

# Quality of life after surgical treatment of primary intramedullary spinal cord tumors in children

Clinical article

**CHRISTIAN SCHNEIDER, M.D.,<sup>1</sup> EVELINE TERESA HIDALGO, M.D.,<sup>1</sup>  
THOMAS SCHMITT-MECHELKE, M.D.,<sup>2</sup> AND KARL F. KOTHBAUER, M.D.<sup>1,3</sup>**

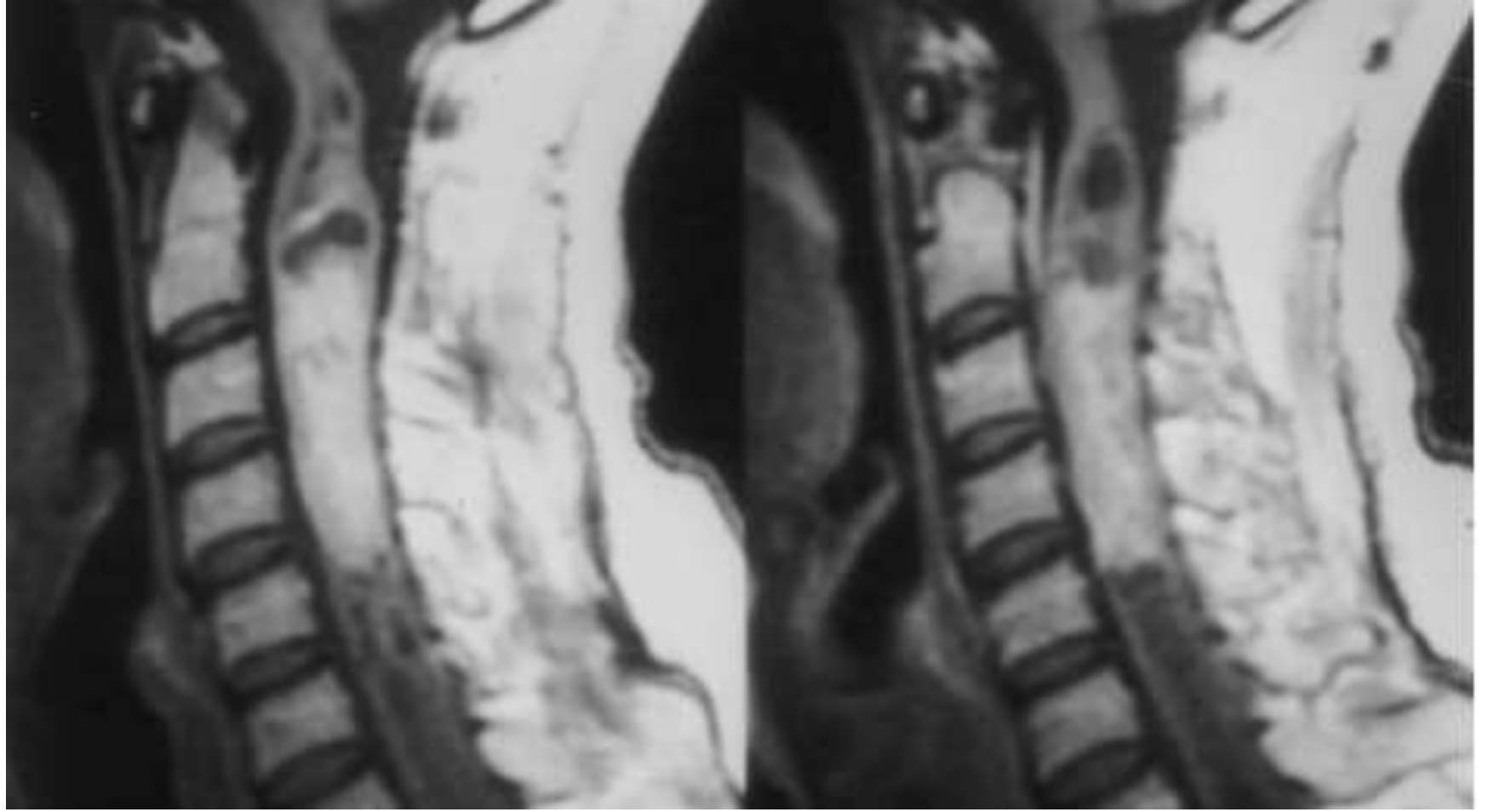
*Divisions of <sup>1</sup>Neurosurgery and <sup>2</sup>Pediatric Neurology, Cantonal Hospital of Lucerne; and <sup>3</sup>Department of Neurosurgery, University of Basel, Switzerland*



Subependymomas can rarely occur in the spinal cord, and account for about 2% of symptomatic spinal cord tumors. It most often occurs in the cervical spinal cord, followed by cervicothoracic junction, thoracic cord and conus medullaris. It often has an eccentric location in the spinal cord and lacks gadolinium enhancement on magnetic resonance imaging. We present a rare case of symptomatic subependymoma of the cervical spinal cord, which underwent successful gross total resection. Surgical pearls and nuances are discussed to help surgeons to avoid potential complications.

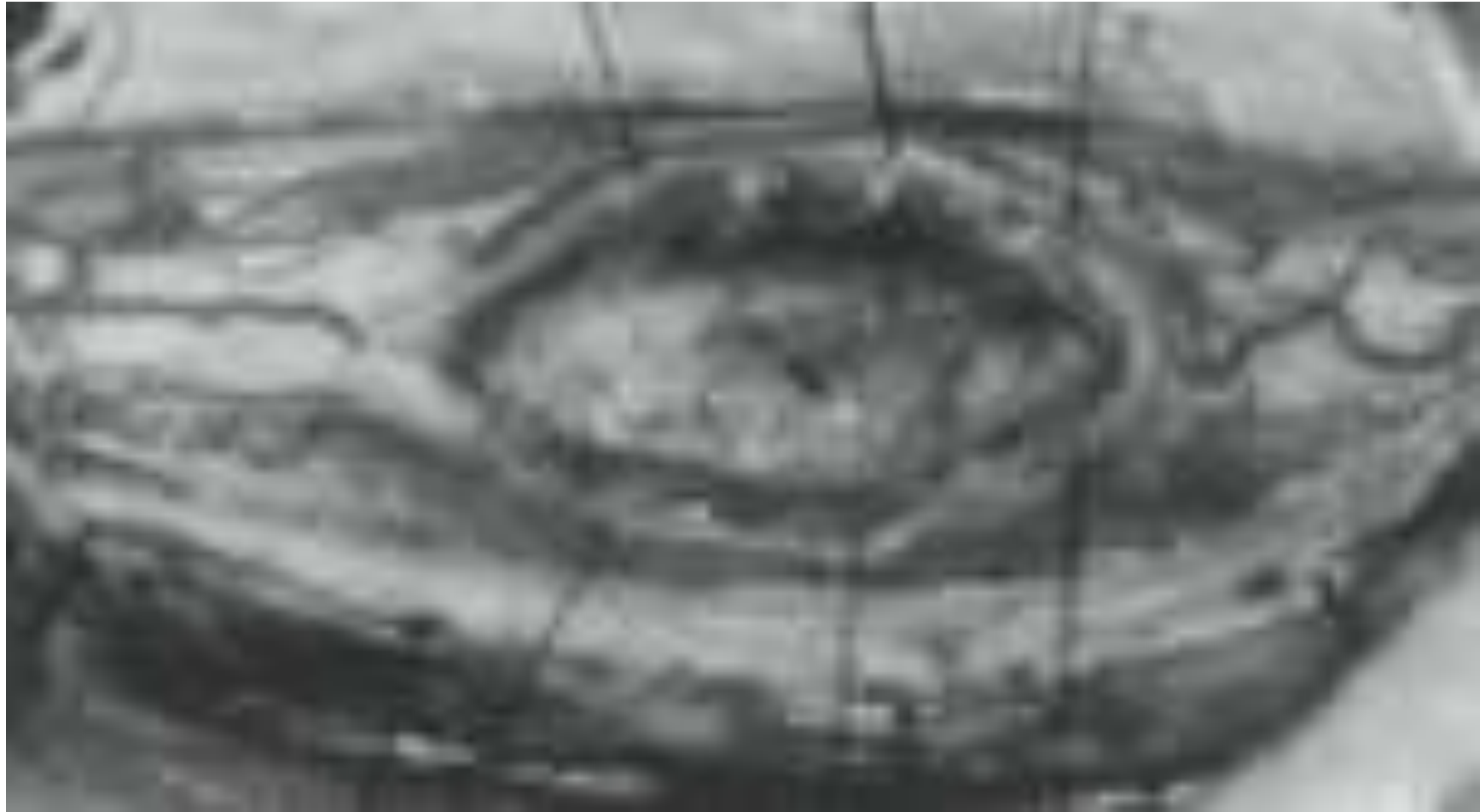
The video can be found here: <http://youtu.be/Rsm9KxZX7Yo>.  
(<http://thejns.org/doi/abs/10.3171/2014.V3.FOCUS14258>)

**KEY WORDS** • cervical spine • intramedullary • spinal cord tumor •  
subependymoma • video



101-1. Gadolinium-enhanced sagittal upper cervical intramedullary enlargement of the spinal cord over several spinal cord segments, a tumor extends only from C2 to C5. and a large caudal polar cyst accounts for the spinal cord enlargement. Benign ependymoma was totally removed.

101-1. Gadolinium-enhanced sagittal upper cervical intramedullary enlargement of the spinal cord over several spinal cord segments, a tumor extends only from C2 to C5. and a large caudal polar cyst accounts for the spinal cord enlargement. Benign ependymoma was totally removed.





**Fig. 1.** Pre-operative (A) and post-operative (B) T2-sagittal spine MRI showing a patient (#17) with a loss of physiological cervical lordosis progressing to kyphosis after laminectomy.

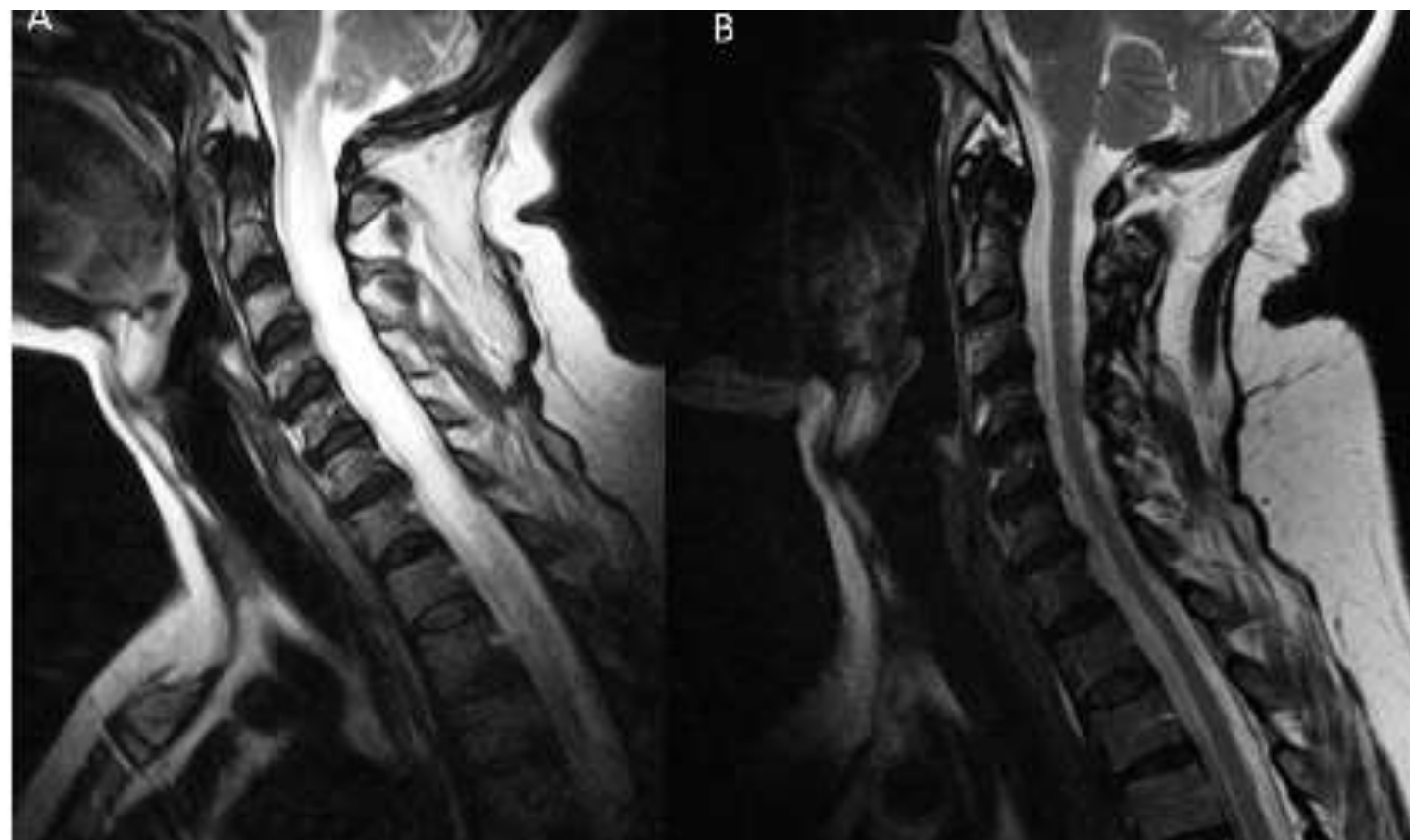


Fig. 2. Pre-operative (A) and post-operative (B) T2-sagittal spine MRI (#8) with no onset of deformity after cervical laminoplasty.

